

บทที่ 4

ผลการทดสอบ

4.1 สมบัติทางกลของยาง

การทดสอบสมบัติทางกลของยางมีวัตถุประสงค์หลัก เพื่อวิเคราะห์หาค่าสัมประสิทธิ์ของสมการพลังงานความเครียด ซึ่งจะนำไปใช้กำหนดคุณิติกรรมทางกลของยางในต้นแบบไฟไนต์เอลิเมนต์ โดยการทดสอบสมบัติทางกลประกอบด้วยการทดสอบสามลักษณะคือ การทดสอบแรงดึงในแนวแกนเดียว (Uniaxial Tension Test), การทดสอบแรงกดในแนวแกนเดียว (Uniaxial Compression Test) และการทดสอบแรงดึงในแนวราบ (Planar Test) โดยการทดสอบสมบัติทางกลของยางมีขั้นตอนและผลการทดสอบดังนี้

1. ใน การทดสอบในแต่ละลักษณะ ชิ้นงานตัวอย่างที่ใช้ทดสอบจำนวน 5 ชิ้น ทำการทดสอบชิ้นละ 7 ครั้งเพื่อปรับสมบัติให้คงที่และทำการบันทึกข้อมูลความสัมพันธ์ระหว่างแรงที่ใช้และการยืดตัวหรือหดตัวที่เปลี่ยนไป

2. เปรียบเทียบข้อมูลความสัมพันธ์ระหว่างแรงที่ใช้และการยืดหรือหดตัวที่เปลี่ยนไปให้อยู่ในรูปของค่าความสัมพันธ์ระหว่างความเกินและความเครียด

3. เนื่องจากความสัมพันธ์ระหว่างความเกินและความเครียดของแต่ละลักษณะ การของทดสอบ จึงนับว่าความสัมพันธ์ในรูปของสมการโพลิโนเมียล โดยมีค่าสหสัมพันธ์ (Correlation Coefficient, r^2) กำกับไว้เพื่อบ่งบอกระดับความน่าเชื่อถือ

4. หากค่าสัมประสิทธิ์พลังงานความเครียด โดยใช้ข้อมูลความสัมพันธ์ระหว่าง ความเกินและความเครียด เนื่องจาก การทดสอบแต่ละลักษณะ

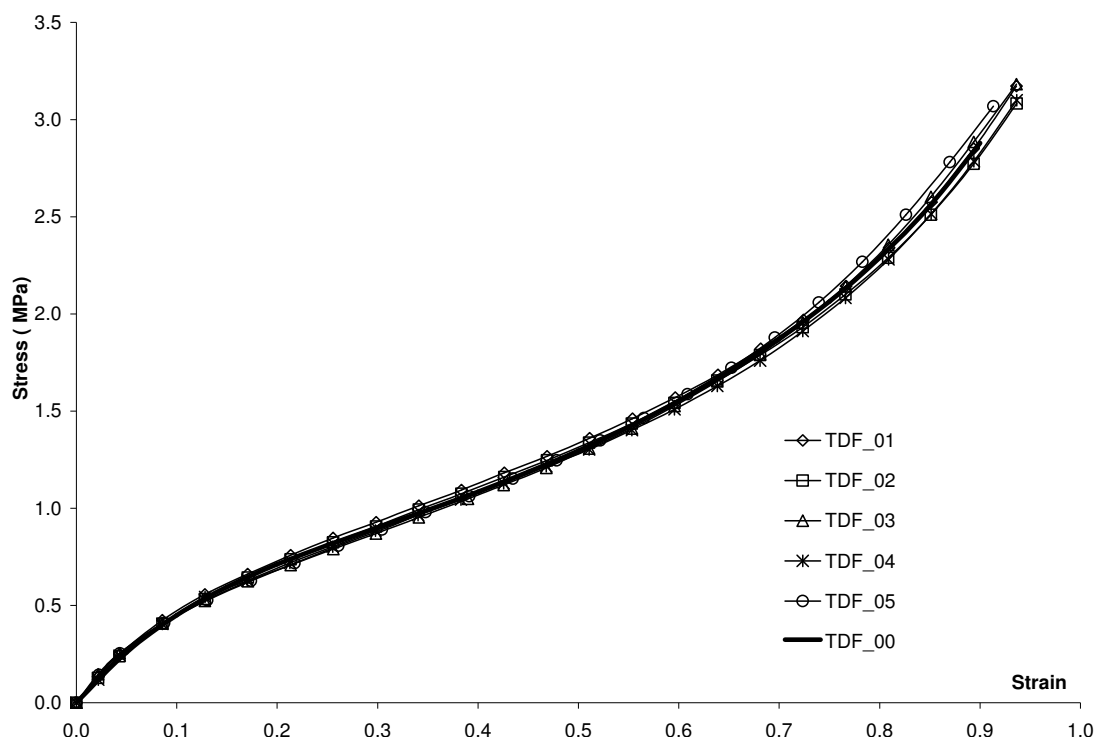
ผลการทดสอบสมบัติทางกลของยาง แสดงดังรูปที่ 4.1, 4.2 และ 4.3 ดังนี้

รูปที่ 4.1 แสดงผลการทดสอบแรงดึงของยางจำนวน 5 ตัวอย่าง คือ TDF_01, TDF_02, TDF_03, TDF_04 และ TDF_05 ในเทอมความสัมพันธ์ระหว่างความเกินดึงและ ความเครียด จากผลการทดสอบพบว่าผลที่ได้มีค่าใกล้เคียงกันและเมื่อนำข้อมูลทั้งหมดมาหาค่าเฉลี่ยในเทอมของสมการโพลิโนเมียลกำลังห้าแสดงดังเส้นกราฟ TDF_00 โดยมีค่าสหสัมพันธ์ (Correlation Coefficient, r^2) มีค่าเท่ากับ 0.9987

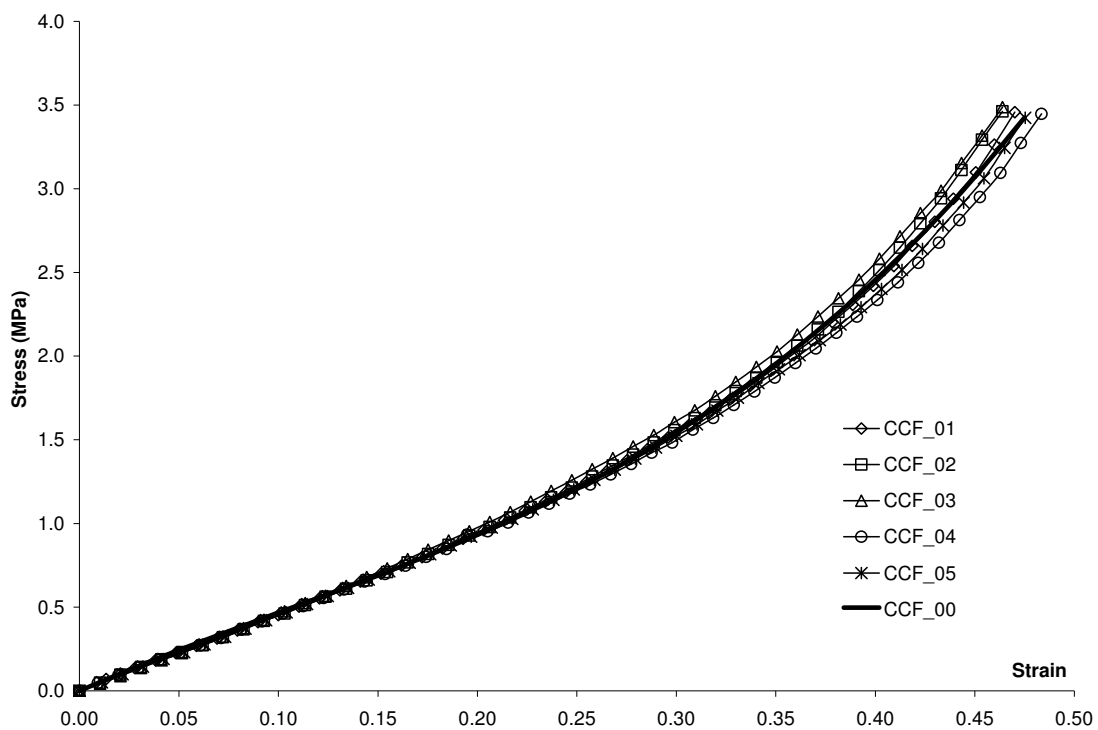
รูปที่ 4.2 แสดงผลการทดสอบแรงกดของยางจำนวน 5 ตัวอย่าง คือ CCF_01, CCF_02, CCF_03, CCF_04 และ CCF_05 ในเทอมความสัมพันธ์ระหว่างความเกินและความเครียด

จากผลการทดสอบพบว่าผลที่ได้มีค่าใกล้เคียงกัน และเมื่อนำข้อมูลทั้งหมดมาหาค่าเฉลี่ยในเทอมของสมการโพลิโนเมียลกำลังสามแสดงดังเส้นกราฟ TDF_00 โดยมีค่าสหสัมพันธ์ (Correlation Coefficient, r^2) มีค่าเท่ากับ 0.9964

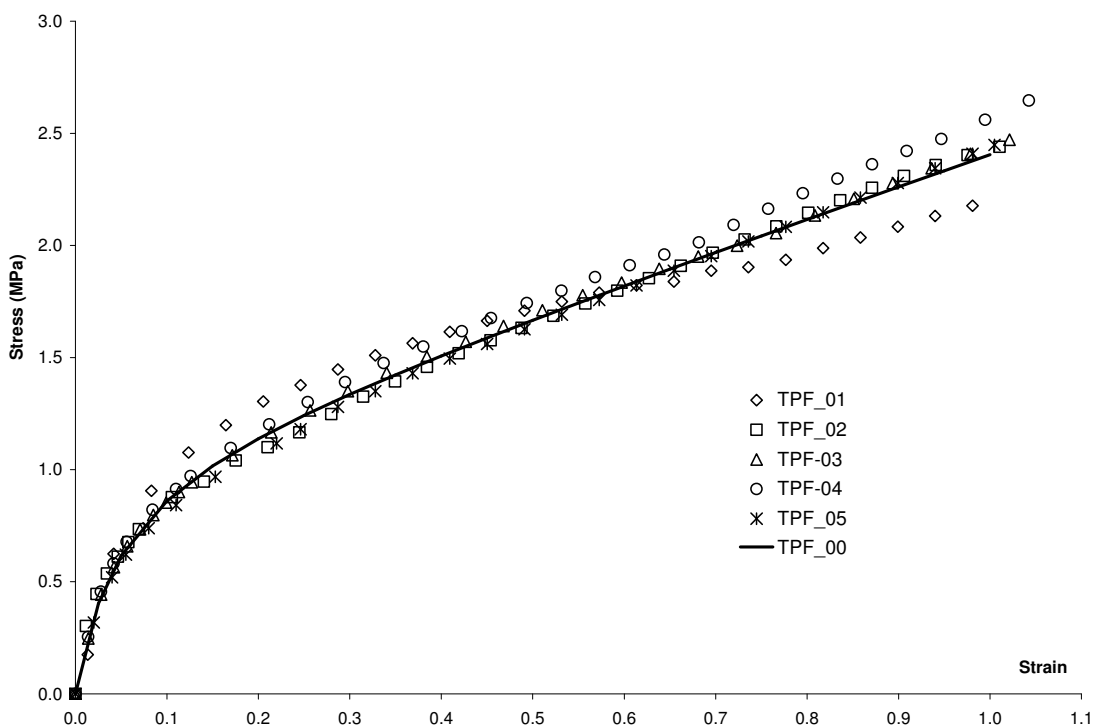
รูปที่ 4.3 แสดงผลการทดสอบแรงดึงตามแนวระนาบของยางจำนวน 5 ตัวอย่าง คือ TPF_01, TPF_02, TPF_03, TPF_04 และ TPF_05 ในเทอมความถ้วนพันธ์ระหว่างความเครื้อนและความเครียด จากผลการทดสอบพบว่าผลที่ได้มีค่าใกล้เคียงกัน และเมื่อนำข้อมูลทั้งหมดมาหาค่าเฉลี่ยในเทอมของสมการเรซั่นแนล (Rational Function) และแสดงผลดังเส้นกราฟ TPF_00 โดยมีค่าสหสัมพันธ์ (Correlation Coefficient, r^2) มีค่าเท่ากับ 0.9891



รูปที่ 4.1 ผลการทดสอบแรงดึง (Tension Test)



รูปที่ 4.2 ผลการทดสอบบะเรงกด (Compression Test)



รูปที่ 4.3 ผลการทดสอบบะเรงดึงในแนวระนาบ (Planar Test)

สรุปผลการทดสอบยางทั้งสามลักษณะในเทอมความสัมพันธ์ระหว่างความเค้น
และความ เครียดได้ดังนี้

Mechanical testing	Average function	r^2
Uniaxial tension	$F(x) = 14.283x^5 - 35.217x^4 + 36.956x^3 - 18.244x^2 + 5.9864x$	0.9987
Uniaxial compression	$F(x) = 24.969x^3 - 7.5766x^2 + 5.1759x$	0.9964
Planar test	$F(x) = (1.391x^2 + 1.159x + 0.001511)/(x + 0.04687) - 0.032169$	0.9891

เมื่อ $f(x)$ คือ ค่าความเค้นตามแนวแรง (Stress)
 x คือ ค่าความเครียดตามแนวแรง (Strain)

4.2 สมบัติทางกลของการทดสอบ

การทดสอบสมบัติทางกลของการมีวัตถุประสงค์หลักเพื่อหาค่าความต้านทานแรงดึงของชั้นการและความต้านทานแรงเฉือน ในรูปแบบของมอดูลัส (Modulus) สำหรับเป็นข้อมูลในการกำหนดพฤติกรรมของชั้นการในแบบจำลองทางไฟฟ้าในอิเล็กเมนต์ โดยการทดสอบสมบัติทางกลของยางทั้งสองลักษณะมีขั้นตอนและผลการทดสอบดังนี้

1. นำยางที่มีสมบัติสามารถยึดแผ่นโลหะกับชิ้นยางได้สองประเภทจำนวนหนกนิดมาทำการทดสอบแรงดึงเบื้องต้นเพื่อใช้สำหรับเลือกการที่มีค่ามอดูลัสต่างกันชัดเจนเพื่อใช้ในงานวิจัยนี้ ซึ่งจากการทดสอบแรงดึงเบื้องต้นสามารถเลือกใช้การจำแนกส่องชนิดที่มีค่ามอดูลัสต่างกันชัดเจนคือ กาวยาง (Rubber Glue) ยี่ห้อ ACT รุ่น CF-354H และกาวแห้งเร็ว (Instant Glue) ยี่ห้อ LOCTITE รุ่น 380 ดังตารางที่ 4.1

ตารางที่ 4.1 ผลการทดสอบมอดูลัสแรงดึงเบื้องต้น

ประเภท	ยี่ห้อ	รุ่น	มอดูลัสแรงดึง (MPa)
กาวยาง (Rubber Glue)	ACT	No. 352	1.0
	ACT	No. 354	1.1
กาวแห้งเร็ว (Instant Glue)	LOCTITE	No. 380	5.80
	LOCTITE	No. 401	5.82
	LOCTITE	No. 410	6.25
	LOCTITE	No. 480	5.23

2. ทดสอบสมบัติความต้านทานแรงดึงของชิ้นกาว (E, Young Modulus) สองชนิด ดังกล่าวด้วยชิ้นทดสอบแบบต่อชนวนนิคละห้าตัวอย่าง และทดสอบสมบัติความต้านทานแรงเฉือน (G, Shear Modulus) ของการทั้งสองชนิดแบบต่อเกย ชนิดละห้าตัวอย่าง

3. ทำการบันทึกข้อมูลความสัมพันธ์ระหว่างแรงดึงและการยึดตัวที่เปลี่ยนไป

4. เปลี่ยนข้อมูลความสัมพันธ์ระหว่างแรงดึงและการยึดตัวที่เปลี่ยนไปให้อยู่ในรูป ของความคื้นกับความเครียดแรงดึง และความคื้นกับความเครียดแรงเฉือน

5. พิจารณาความต้านทานแรงดึงของชิ้นกาว (E, Young's Modulus) และความต้านทานแรงเฉือน (G, Shear Modulus) จากช่วงความชันที่คงที่ของกราฟความคื้นกับความเครียด

ผลการทดสอบสมบัติทางกลของการแสดงดังรูปที่ 4.4 ถึง 4.8 สามารถสรุปค่า สมบัติเชิงกลของการดังตารางที่ 4.2

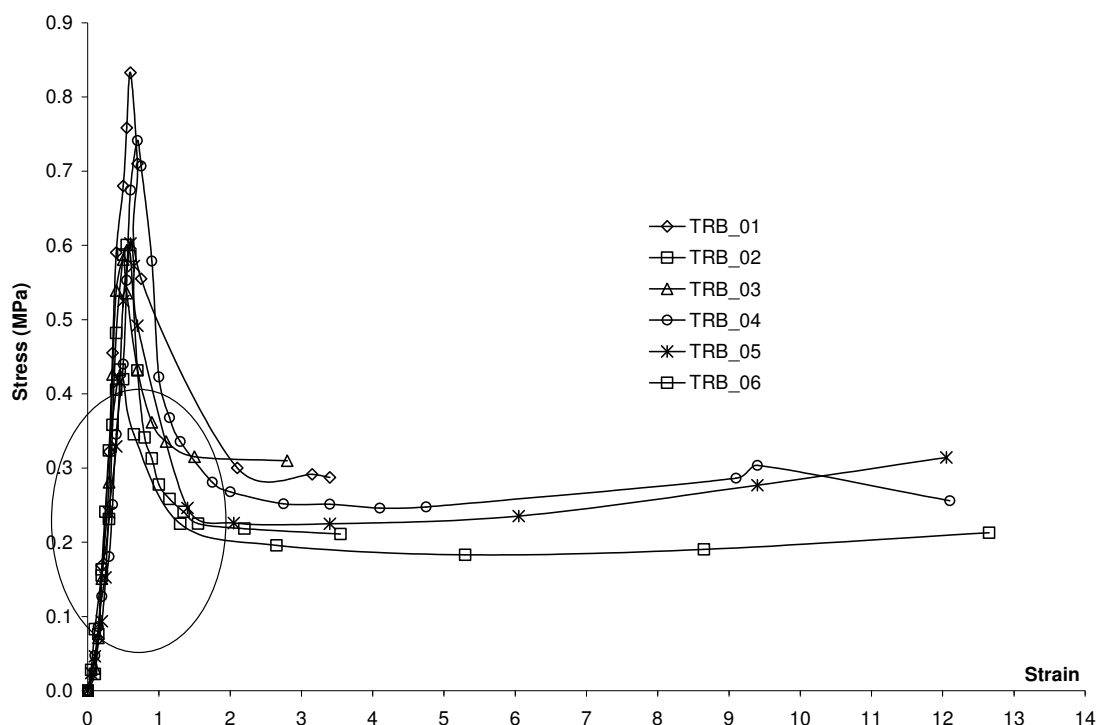
รูปที่ 4.4 แสดงผลการทดสอบแรงดึงของกาวยาง ยี่ห้อ ACT No. 354 ของชิ้นงาน ที่ต่อแบบชน (Butt-Joint) ตลอดช่วงการทดสอบ จำนวน 5 ตัวอย่างคือ TBR_01, TBR_02, TBR_03, TBR_04 และ TBR_05 ในเทอมความสัมพันธ์ระหว่างความคื้นและความเครียด ปรากฏว่าชิ้นกาวมีการยึดเกาะติดได้ดีในช่วงความเครียด 0 ถึง 0.7 ซึ่งเป็นช่วงที่จะใช้พิจารณาความต้านทานแรงดึง

รูปที่ 4.5 แสดงผลการทดสอบแรงดึงของกาวยาง ยี่ห้อ ACT No.354 ของชิ้นงานที่ ต่อแบบชน (Butt – Joint) ในช่วงความเครียด 0 ถึง 0.7 และคำนวณหาค่ามอคูลัสยึดหยุ่นของชิ้นกาว ยางจากความชันของกราฟ มีค่ามอคูลัสยึดหยุ่นเท่ากับ 1.128 MPa.

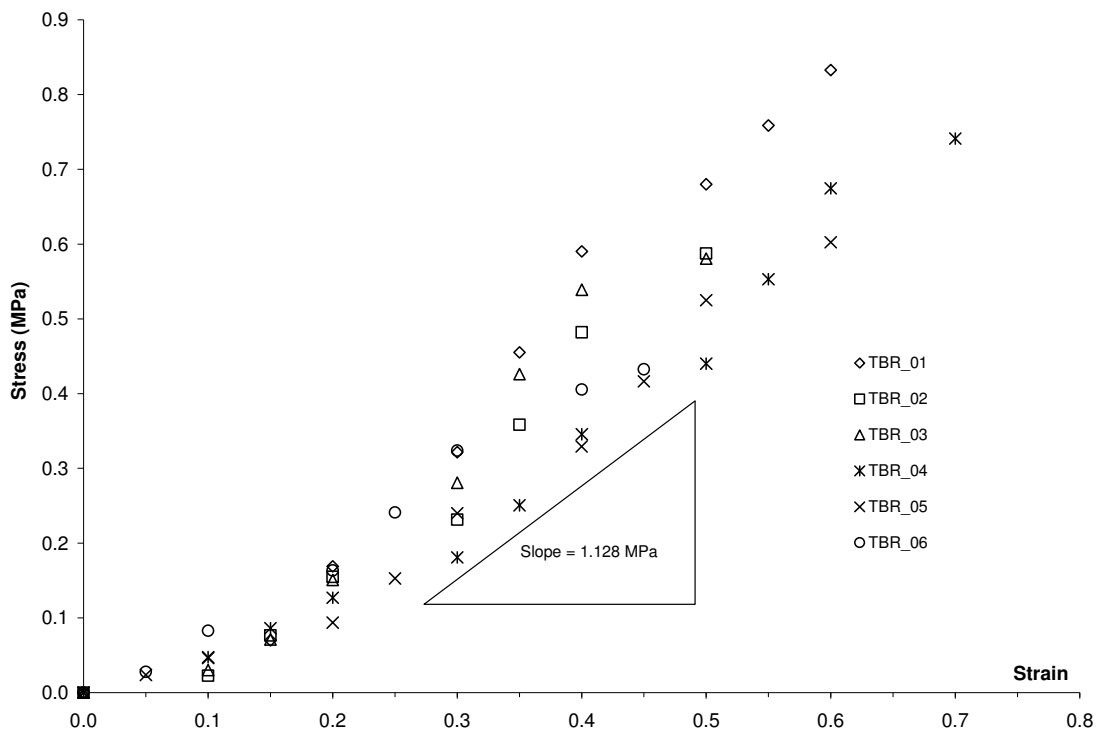
รูปที่ 4.6 แสดงผลการทดสอบแรงดึงเฉือนของกาวยาง ยี่ห้อ ACT No. 354 ของชิ้นงานที่ต่อแบบเกย (Lap-Joint) จำนวน 5 ตัวอย่าง คือ TLR_01, TLR_02, TLR_03, TLR_04 และ TLR_05 ในเทอมความสัมพันธ์ระหว่างความคื้นเนื่องและความเครียดเฉือน ปรากฏว่าชิ้นกาวมี การยึดเกาะได้ดีช่วงความเครียดเฉือน 0 ถึง 3.0 และเมื่อคำนวณหาค่ามอคูลัสเนื่องของกาวยางจาก ความชันของกราฟ มีค่ามอคูลัสเนื่องเท่ากับ 0.154 MPa.

รูปที่ 4.7 แสดงผลการทดสอบแรงดึงของการแห้งเร็ว ยี่ห้อ LOCTITE No. 380 ของชิ้นงานที่ต่อแบบชน (Butt-Joint) ตลอดช่วงการทดสอบ จำนวน 5 ตัวอย่าง คือ TBI_01, TBI_02, TBI_03, TBI_04 และ TBI_05 ในเทอมความสัมพันธ์ระหว่างความคื้นและความเครียด ปรากฏว่าชิ้นกาวมีการยึดเกาะติดได้ดีในช่วงความเครียด 0 ถึง 1 ซึ่งเมื่อคำนวณหาค่ามอคูลัสยึด หยุ่นของการแห้งเร็วจากความชันของกราฟ มีค่ามอคูลัสยึดหยุ่นเท่ากับ 5.8 MPa

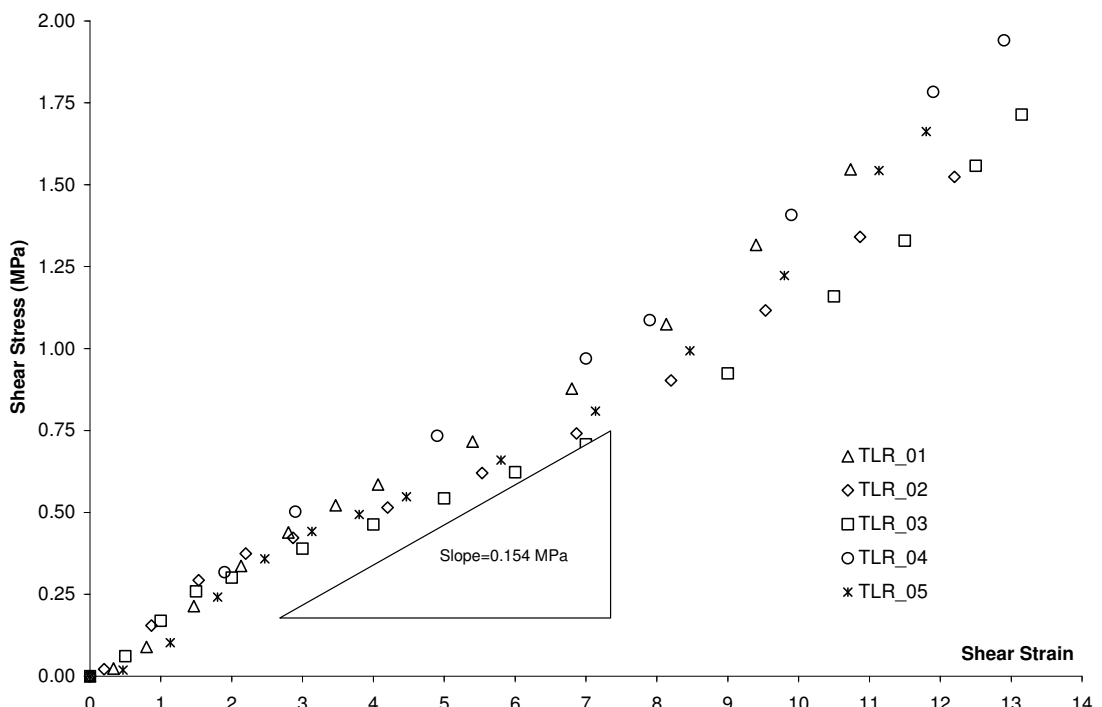
รูปที่ 4.8 แสดงผลการทดสอบแรงดึงเลื่อนของการแห้งเร็ว ยีห้อ LOCTITE No. 380 ของชิ้นงานที่ต่อแบบเกย (Lap-Joint) ตลอดช่วงการทดสอบ จำนวน 5 ตัวอย่าง คือ TBI_01, TBI_02, TBI_03, TBI_04 และ TBI_05 ในเทอมความสัมพันธ์ระหว่างความเดินเฉือนและความเครียดเฉือน ปรากฏว่าชั้นการมีการยึดเกาะในช่วงความเครียดเฉือน 0 ถึง 5 และเมื่อคำนวณหาค่ามอคูลัสยึดหยุ่นของการยางจากความชันของกราฟ มีค่ามอคูลัสเฉือนเท่ากับ 2.6 MPa



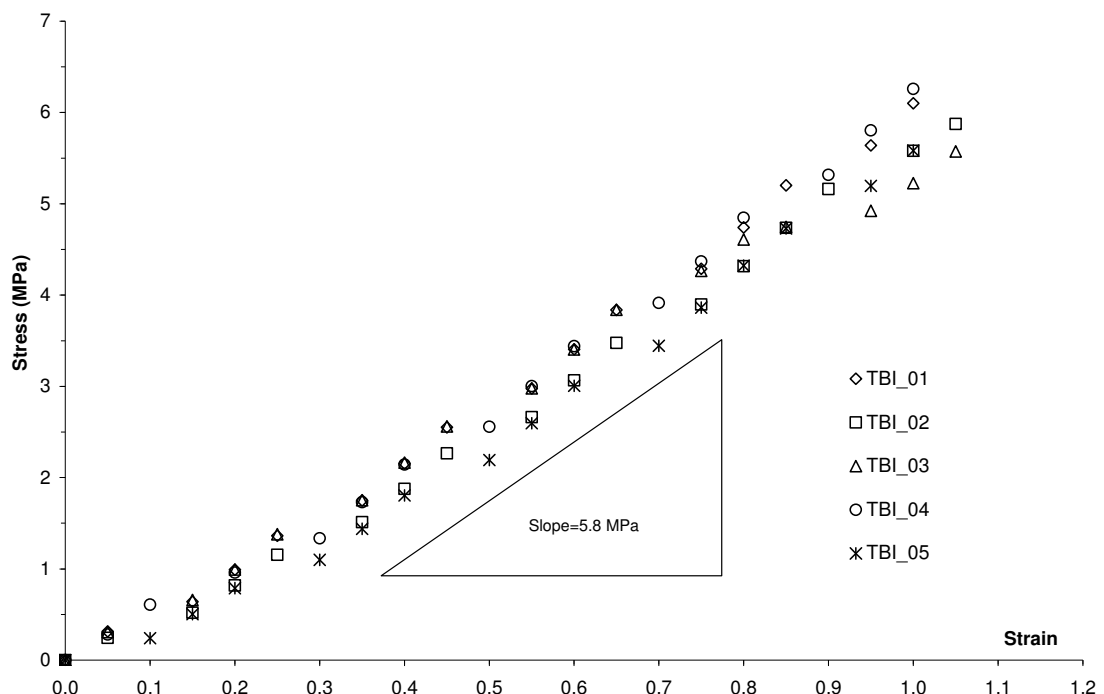
รูปที่ 4.4 ผลการทดสอบ Butt-Joint ของการยางยีห้อ ACT No. 354



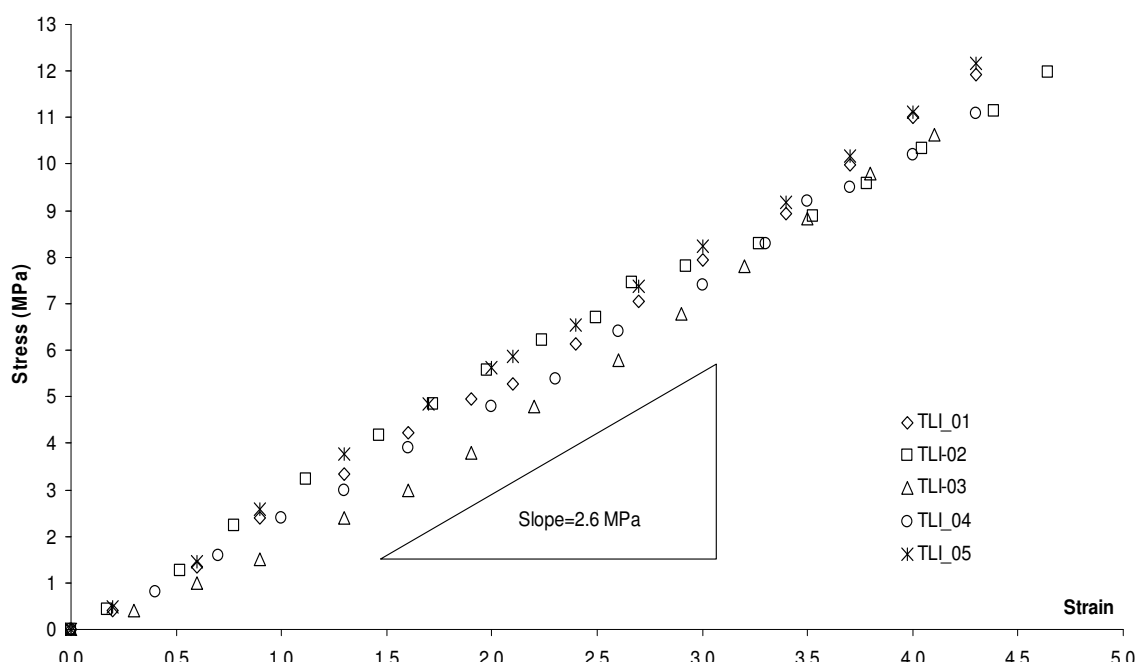
รูปที่ 4.5 ผลการทดสอบ Butt-Joint ของกาวยางยืดหัก ACT No. 354 ช่วงขีดหยุ่น



รูปที่ 4.6 ผลการทดสอบ Lap-Joint ของกาวยางยืดหัก ACT No. 354



รูปที่ 4.7 ผลการทดสอบ Butt-Joint ของการแท้หัวเรียวปืนห้อง LOCTITE No. 380



รูปที่ 4.8 ผลการทดสอบ Lap-Joint ของการแท้หัวเรียวปืนห้อง LOCTITE No. 380

ตารางที่ 4.2 สรุปผลค่าสมบัติเชิงกลของการ

ประเภท	ยี่ห้อ	รุ่น	มอดูลัสแรงดึง E (MPa)	มอดูลัสแรงเสื่อม G (MPa)
กาวยาง (Rubber Glue)	ACT	No. 354	1.128	0.154
กาวแห้งเร็ว (Instant Glue)	LOCTITE	No.380	5.8	2.6

4.3 ค่าสัมประสิทธิ์พลังงานความเครียด

การหาค่าสัมประสิทธิ์ของสมการพลังงานความเครียดเพื่อกำหนดพฤติกรรมของยางในตันแบบไฟไนโอลิเมนต์ ทำได้โดยนำค่าลำดับความสัมพันธ์ระหว่างความเค้นและความเครียดที่ได้จากการทดสอบแรงดึง, การทดสอบแรงกดและการทดสอบแรงดึงตามแนวระนาบมาประมวลผลด้วยโปรแกรม ABAQUS โดยรูปแบบของสมการพลังงานความเครียดที่ใช้คือ โพลิโนเมียน (Polynomial form)

Polynomial form , N=1

$$\sigma_u = 2 \left(C_{10} + \frac{C_{01}}{\lambda_u} \right) \left(\lambda_u - \frac{1}{\lambda_u^2} \right) \quad (4.1)$$

$$\sigma_s = 2(C_{10} + C_{01})(\lambda_s - \lambda_s^{-3}) \quad (4.2)$$

Polynomial form , N=2

$$\sigma_u = 2(1 - \lambda_u^{-3}) [C_{10}\lambda_u + C_{01} + 2C_{20}\lambda_u(I_1 - 3) + C_{11}(I_1 - 3) + \lambda_u(I_2 - 3) + 2C_{02}(I_2 - 3)] \quad (4.3)$$

$$\sigma_s = 2(\lambda_s - \lambda_s^{-3}) [C_{10} + C_{01} + 2(C_{20} + C_{11} + C_{02})(I_1 - 3)] \quad (4.4)$$

เมื่อ

σ_u คือค่าความเค้นในแนวแรงของทดสอบแรงดึงหรือแรงกดแกนเดียว

σ_s คือความเค้นในแนวแรงดึงของทดสอบการต้านทานแรงดึงตามแนวระนาบ

λ_u คืออัตราการยึดตัวในแนวแรงของทดสอบแรงดึงหรือแรงกดแกนเดียว
 λ_s คืออัตราการยึดตัวในแนวแรงของทดสอบการด้านทันแรงดึงในแนวระนาบ

$C_{10}, C_{01}, C_{20}, C_{11}, C_{02}$ คือสัมประสิทธิ์พลังงานความเครียด

I คือ Three Invariants of the Green Deformation Tensor

การเลือกใช้ข้อมูลสำหรับประมาณผลหากค่าสัมประสิทธิ์พลังงานความเครียด
 ขึ้นกับลักษณะงานที่จะนำไปใช้ ซึ่งงานวิจัยนี้ใช้ข้อมูลจากการทดสอบแรงดึงกับงานที่รับแรงดึงเพียงอย่างเดียวและใช้ข้อมูลจากการทดสอบแรงกดกับงานที่รับแรงกดอย่างเดียว และจากการประมาณผลด้วยโปรแกรม ABAQUS ได้ค่าสัมประสิทธิ์พลังงานความเครียดดังนี้

ข้อมูลจากการทดสอบแรงดึง

Polynomial form ; N=1

$$C_{10} = 0.9413, \quad C_{01} = -0.3797$$

Polynomial form ; N=2

$$C_{10} = -2.042, \quad C_{01} = 3.088, \quad C_{20} = 1.414, \quad C_{11} = -3.878, \quad C_{02} = 3.678$$

ข้อมูลจากการทดสอบแรงกด

Polynomial form ; N=1

$$C_{10} = 0.768, \quad C_{01} = -0.1205$$

Polynomial form ; N=2

$$C_{10} = 2.843, \quad C_{01} = -1.986, \quad C_{20} = 2.013, \quad C_{11} = -1.311, \quad C_{02} = 0.318$$

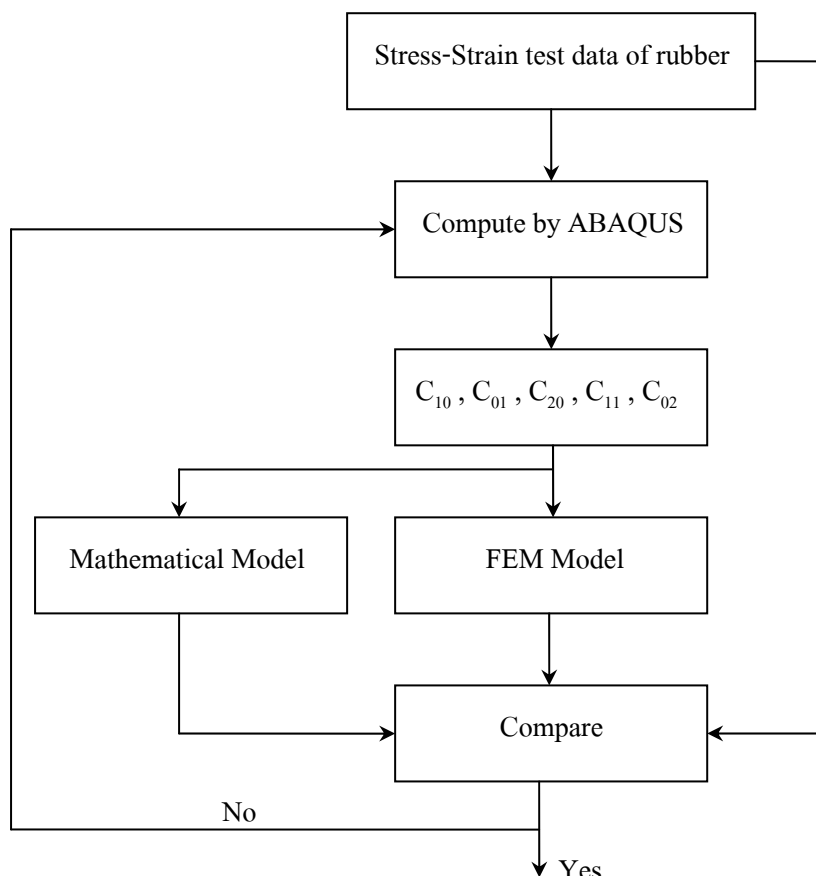
หมายเหตุ หน่วยของค่าสัมประสิทธิ์พลังงานความเครียดคือ MPa

4.4 การศึกษาต้นแบบไฟไนต์อเลิเมนต์ที่เหมาะสมสำหรับนำไปศึกษาการปรับเปลี่ยนพารามิเตอร์
 เป็นการศึกษาเบื้องต้นว่าต้นแบบไฟไนต์อเลิเมนต์ (FEM Model) มีความหน้าเชื่อถือระดับหนึ่งก่อนนำไปทำการปรับเปลี่ยนพารามิเตอร์ตัวอื่นในต้นแบบต่อไป โดยทำการศึกษาใน

แต่ต่อไปนี้คือ ยืนยันความถูกต้องของค่าสัมประสิทธิ์พลังงานความเครียดของยาง ตรวจสอบความเหมาะสมของจำนวนและขนาดอelistment ในแบบจำลองไฟไนต์อelistment ของรอยต่อชนยางกับการและยืนยันความถูกต้องของแบบจำลองไฟไนต์อelistment ของรอยต่อชนยางกับการ โดยรายละเอียดของแต่ละกิจกรรมดังนี้

4.4.1 การยืนยันความถูกต้องค่าสัมประสิทธิ์พลังงานความเครียดของยาง

วัตถุประสงค์เพื่อความมั่นใจในผลการคำนวณค่าสัมประสิทธิ์ที่ได้จากโปรแกรม ABAQUS สามารถจำลองพฤติกรรมของยางได้ในงานที่เหมาะสม การศึกษาระบบนี้นำเสนอการยืนยันความถูกต้องเบื้องต้นสองวิธีคือ วิธีที่หนึ่งเปรียบเทียบความสัมพันธ์ระหว่างความเค้นและความเครียดที่ได้จากการทดสอบกับที่ได้จากการทดสอบทางคณิตศาสตร์ วิธีที่สองเปรียบเทียบความสัมพันธ์ระหว่างความเค้นและความเครียดที่ได้จากการทดสอบกับที่ได้จากการจำลองไฟไนต์อelistment ซึ่งแสดงขั้นตอนได้ด้วยแผนภูมิความสัมพันธ์ของกิจกรรมต่างๆ ดังรูปที่ 4.9



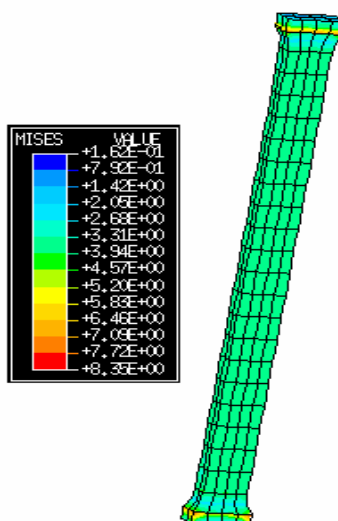
รูปที่ 4.9 แผนภูมิขั้นตอนการยืนยันความถูกต้องสัมประสิทธิ์พลังงานความเครียด

จากแผนภูมิในรูปที่ 4.9 สามารถอธิบายรายละเอียดของแต่ละขั้นตอนได้ดังนี้

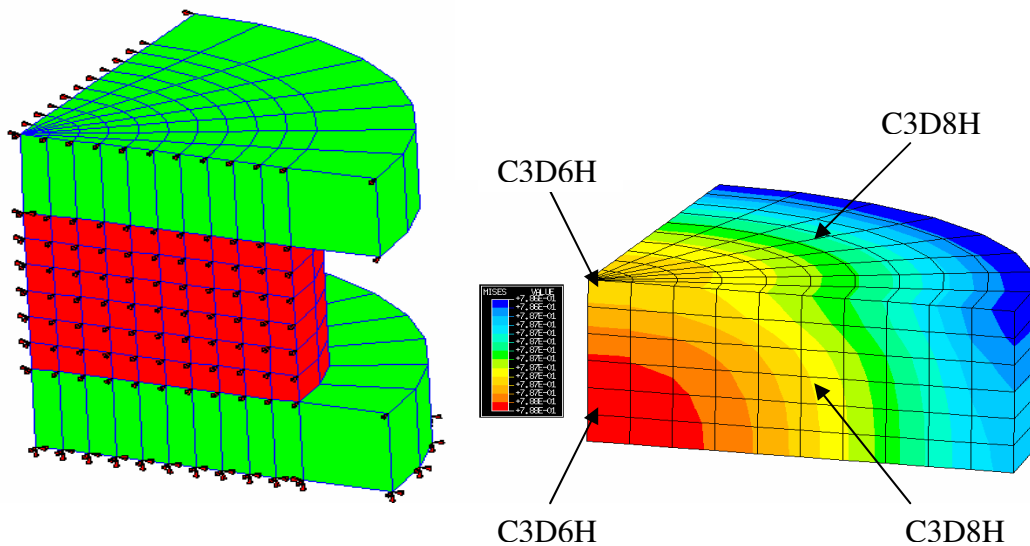
1. หาค่า $C_{10}, C_{01}, C_{20}, C_{11}, C_{02}$ จากข้อมูลการทดสอบความเค้น – ความเครียด โดยใช้โปรแกรม ABAQUS

2. นำค่าที่ได้แทนในสมการที่ 4.1, 4.2, 4.3 และ 4.4 สร้างเป็นความสัมพันธ์ระหว่างความเค้นและความเครียด เปรียบเทียบกับความสัมพันธ์ระหว่างความเค้นและความเครียดที่ได้จากผลการทดสอบ

3. สร้างแบบจำลองชิ้นงานที่มีลักษณะและขนาดเหมือนชิ้นงานทดสอบ ด้วยโปรแกรมทางไฟฟ้าอิเล็กทรอนิกส์ (ABAQUS) กำหนดให้ยางมีค่าสัมประสิทธิ์พลังงานความเครียด $C_{10}, C_{01}, C_{20}, C_{11}, C_{02}$ ตามที่ประมวลผลได้ในตอนต้น ดังตัวอย่างแบบจำลองในรูปที่ 4.10 แสดงแบบจำลองชิ้นงานทดสอบแรงดึง ใช้อลิเมนต์แบบสามมิติรูปสี่เหลี่ยม 20 โนด (C3D20RH, 20-node linear brick, reduced integration with hourglass control, hybrid with constant pressure, ตาม ABAQUS code) จำนวน 168 อลิเมนต์ แบบจำลองในรูปที่ 4.11 แสดงแบบจำลองชิ้นงานทดสอบแรงกด เนื่องจากชิ้นงานจริงมีลักษณะสมมาตร จึงจำลองชิ้นงานหนึ่งในสี่ส่วนของชิ้นงานจริง ใช้แบบจำลองสามมิติประกอบด้วยอลิเมนต์แบบสามมิติรูปสี่เหลี่ยม 8 โนด (C3D8RH, 8-node linear brick, reduced integration with hourglass control, hybrid with constant pressure) จำนวน 432 อลิเมนต์ และ อลิเมนต์แบบสามมิติรูปสามเหลี่ยม 6 โนด (C3D6H, 6-node linear triangular prism, hybrid with constant pressure, ตาม ABAQUS code) จำนวน 48 อลิเมนต์ กำหนดให้ผิวสัมผัสระหว่างยางและโลหะมีแรงเสียดทานเป็นศูนย์



รูปที่ 4.10 FEM Model ของชิ้นงานทดสอบแรงดึง



รูปที่ 4.11 FEM Model ของชิ้นงานทดสอบแรงกด

4. หากความสัมพันธ์ระหว่างความคื้นและความเครียดจากแบบจำลองข้างต้น เมื่อ แรงที่กระทำเปลี่ยนไป จากนั้นเปรียบเทียบกับความสัมพันธ์ระหว่างความคื้นและความเครียดที่ได้ จากผลการทดสอบ

5. คำนวณหาร้อยละของความแตกต่างเฉลี่ยต่อส่วนช่วงความเครียดที่พิจารณา ตาม สมการที่ 4.5 เพื่อแสดงการเปรียบเทียบ

$$\text{ร้อยละความแตกต่างเฉลี่ย } (\%) = \frac{1}{N} \sum_{i=1}^N \frac{|\sigma_{\text{FEA or math}} - \sigma_{\text{exp}}|}{\sigma_{\text{exp}}} \times 100 \quad (4.5)$$

เมื่อ

$\sigma_{\text{FEA or math}}$ คือค่าความคื้นที่ได้จากแบบจำลองไฟไนต์เอลิเมนต์หรือแบบจำลองทาง

คณิตศาสตร์ที่ความเครียดใดๆ

σ_{exp} คือค่าความคื้นที่ได้จากการทดลองที่ความเครียดใดๆ

N คือจำนวนคุณลักษณะความสัมพันธ์ระหว่างความคื้นและความเครียด

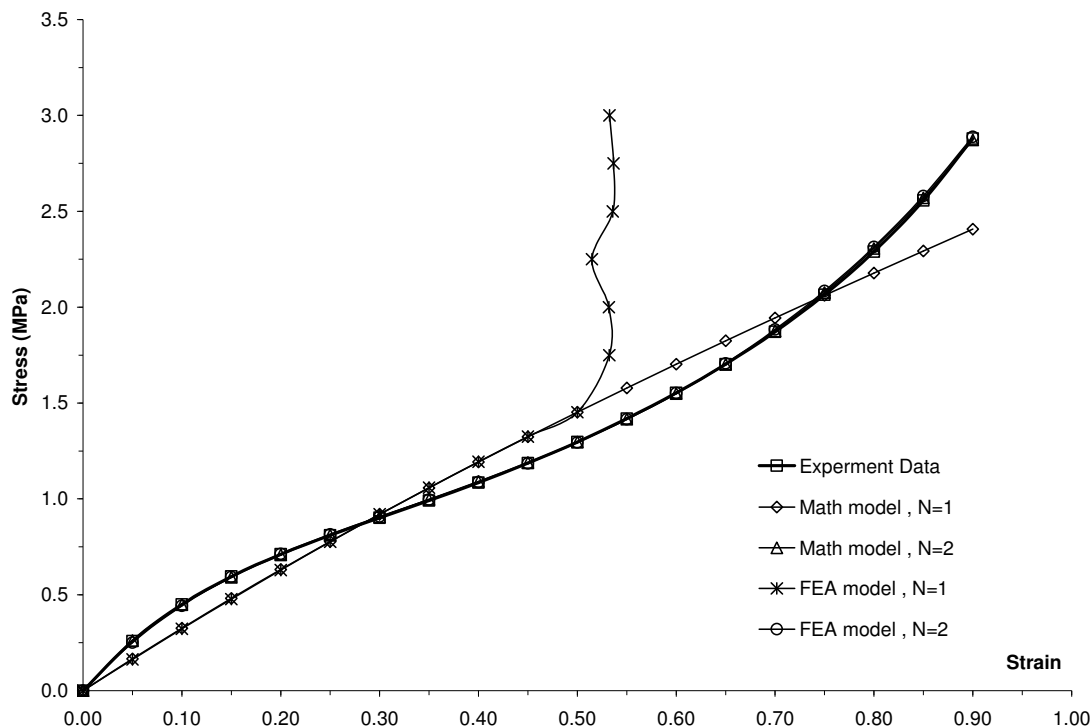
สรุปผลการยืนยันความถูกต้องของค่าสัมประสิทธิ์พลังงานความเครียดในลักษณะต่างๆ สามารถแสดงสรุปผลได้ดังตารางที่ 4.3 ดังนี้

ตารางที่ 4.3 ผลการยืนยันความถูกต้องของค่าสัมประสิทธิ์พลังงาน ความเครียดในลักษณะต่างๆ

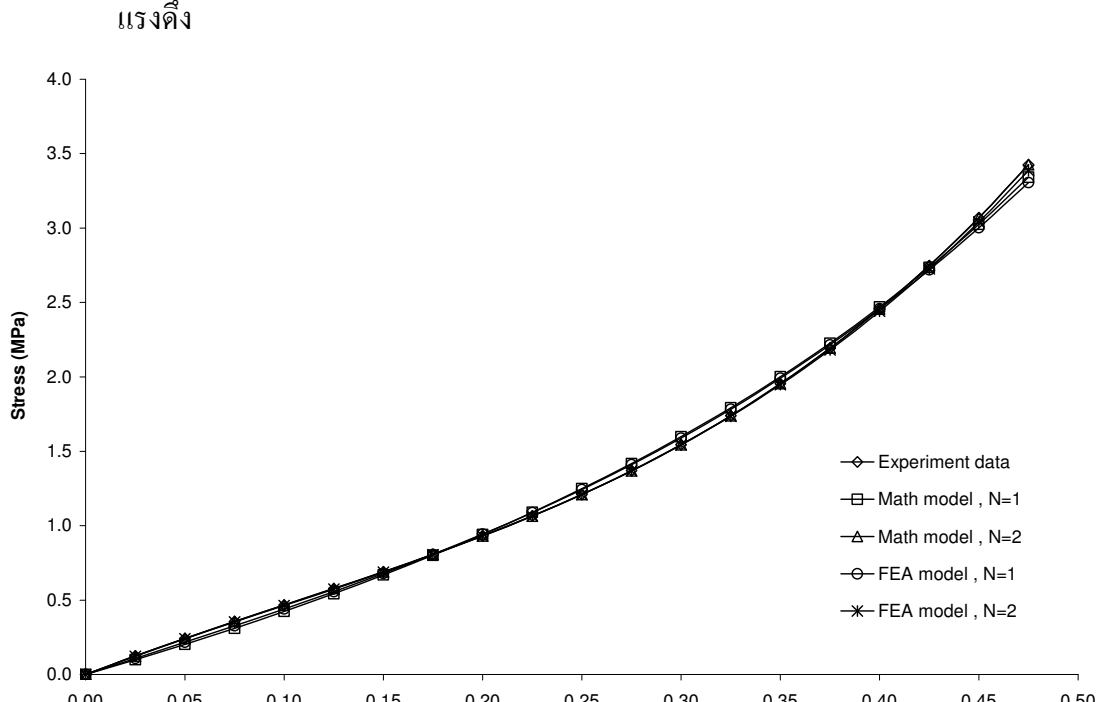
รูปแบบโมเดล	ความความแตกต่างเทียบกับผลการทดสอบ (%)	
	Math Model	FEA Model
แรงดึง		
polynomial, N=1	10.709	13.122
polynomial, N=2	0.394	0.6236
แรงกด		
polynomial, N=1	4.703	3.353
polynomial, N=2	0.064	0.0568

รูปที่ 4.12 พบว่าค่าสัมประสิทธิ์พลังงานความเครียดที่ได้จากโพลิโนเมียลเด็กิรีส่องจากการทดสอบแรงดึงมีความถูกต้องสูงกว่าเด็กิรีนั่นเอง เมื่อใช้การยืนยันผ่านสมการทางคณิตศาสตร์และโดยแบบจำลองไฟไนต์อเลิมิเนต์เปรียบเทียบกับผลการทดสอบมีค่าความแตกต่างเฉลี่ย 0.394 % และ 0.6236 % ตามลำดับ ส่วนค่าสัมประสิทธิ์พลังงานความเครียดที่ได้จากโพลิโนเมียลโมเดลเด็กิรีนั่นเอง เมื่อใช้การยืนยันผ่านสมการทางคณิตศาสตร์เปรียบเทียบกับผลการทดสอบมีค่าความแตกต่างเฉลี่ย 10.709 % ส่วนการยืนยันโดยแบบจำลองไฟไนต์อเลิมิเนต์เปรียบเทียบกับผลการทดสอบสามารถใช้งานได้ในช่วงความเครียด 0-0.5 เท่านั้นตามเงื่อนไขที่ระบุไว้จากการประมวลผลในโปรแกรม ABAQUS ซึ่งเป็นข้อจำกัดของโปรแกรม โดยมีค่าความแตกต่างเฉลี่ย 13.122 % ในช่วงความเครียดดังกล่าว

รูปที่ 4.13 พบว่าค่าสัมประสิทธิ์พลังงานความเครียดที่ได้จาก โพลิโนเมียลโมเดลเด็กิรีส่องจากการทดสอบแรงกด มีความถูกต้องกว่าเด็กิรีนั่นเอง คือค่าความแตกต่างเฉลี่ยเมื่อเทียบกับผลการทดสอบของการยืนยันผลผ่านสมการคณิตศาสตร์และด้วยแบบจำลองไฟไนต์อเลิมิเนต์เท่ากับ 0.064 % และ 0.0568 % ส่วนค่าสัมประสิทธิ์พลังงานความเครียดที่ได้จากโพลิโนเมียลโมเดลเด็กิรีนั่นเองมีค่าเท่ากับ 4.703% และ 3.353 % ตามลำดับ



รูปที่ 4.12 ผลการยืนยันความถูกต้องของค่าสัมประสิทธิ์พลังงานความเครียดสำหรับชิ้นยางที่รับแรงดึงดูด



รูปที่ 4.13 ผลการยืนยันความถูกต้องของค่าสัมประสิทธิ์พลังงานความเครียดสำหรับชิ้นยางที่รับแรงดึงดูด

4.4.2 การตรวจสอบความเหมาะสมของจำนวนและขนาดอลิเมนต์ในแบบจำลองไฟไนต์ เอลิเมนต์ของรอยต่อชนยางกับกาวยา

แบบจำลองไฟไนต์อลิเมนต์ที่ใช้ศึกษาจำเป็นต้องมีการตรวจสอบขนาดและปริมาณอลิเมนต์ที่ความเหมาะสม ดังนั้นในการศึกษาครั้งนี้จะต้องเลือกและตรวจสอบจำนวนอลิเมนต์ที่เหมาะสม โดยมีขั้นตอนดังนี้

1. เลือกออกแบบจำนวนอลิเมนต์ให้มีความละอียดเพียงพอ ต่อการศึกษาตัวแปรที่สนใจในการสร้างแบบจำลองของชิ้นงานที่เข้มต่อแบบสมบูรณ์ (Perfect Bonding) (เนื่องจากจำนวนของอลิเมนต์ของกาวยาจะขึ้นกับจำนวนอลิเมนต์ของยางโดยตรง)

2. สร้างแบบจำลองที่มีทั้ง ขนาด สมบัติของวัสดุและเงื่อนไขขอบเขตเดียวกัน แต่ใช้อลิเมนต์ที่มีจำนวนมากกว่าประมาณ 1 เท่า ของแบบจำลองที่ต้องการตรวจสอบ

3. ประมาณผลแบบจำลองทั้งสองด้วยเงื่อนไขที่สนใจเดียวกัน เปรียบเทียบผลที่ได้ ต้องมีความแตกต่างไม่มากกว่า 1% โดยงานวิจัยนี้จะเปรียบเทียบผลของความสัมพันธ์ระหว่างความเคี้ยวและความเครียดของแบบจำลองทั้งสอง โดยคำนวณร้อยละความแตกต่างเฉลี่ยดังสมการที่ 4.6

ร้อยละความแตกต่างเฉลี่ย

$$(%) = \frac{1}{N} \sum_{i=1}^N \frac{|\varepsilon_n - \varepsilon_{2n}|}{\varepsilon_n} \times 100 \quad (4.6)$$

เมื่อ

ε_n ความเครียดที่ค่าความเคี้ยวได้ ของแบบจำลองที่ต้องการตรวจสอบ

ε_{2n} ความเครียดที่ค่าความเคี้ยวได้ ของแบบจำลองที่มีจำนวนอลิเมนต์มากกว่า ประมาณ 1 เท่า

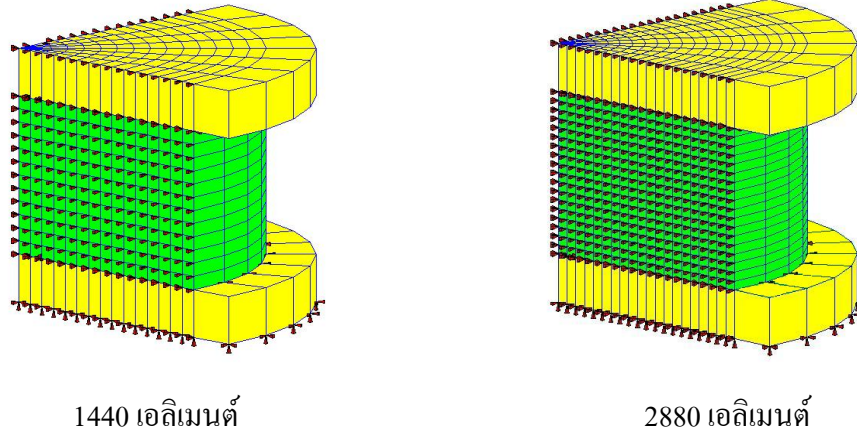
N คือจำนวนคู่สำหรับความสัมพันธ์ระหว่างความเครียดและความเคี้ยว

4. ถ้าความแตกต่างที่ได้มากกว่า 1% จะต้องสร้างแบบจำลองที่มีจำนวนอลิเมนต์มากขึ้นตามความจำเป็น และทำการตรวจสอบใหม่อีกครั้งหนึ่ง

4.4.2.1 แบบจำลองชิ้นงานแบบแผ่นกลม

แบบจำลองที่ใช้สำหรับจำลองชิ้นงานแผ่นกลม มีจำนวนอลิเมนต์ของยาง จำนวน 1440 อลิเมนต์ และจะทำการเปรียบเทียบกับแบบจำลองที่มีอลิเมนต์มากกว่าหนึ่งเท่าคือมีอลิเมนต์ 2880 อลิเมนต์ และจะทำการเปรียบเทียบแบบจำลองชิ้นงานแผ่นกลม 3 ขนาด กือขนาดเส้นผ่า

ศูนย์กลาง 30 mm หนา 10 mm ขนาดเส้นผ่าศูนย์กลาง 40 mm หนา 18 mm และขนาดเส้นผ่าศูนย์กลาง 50 mm หนา 30 mm ซึ่งตัวอย่างแบบจำลองแสดงดังรูปที่ 4.14



รูปที่ 4.14 แบบจำลองชิ้นงานแผ่นกลมขนาดเส้นผ่าศูนย์กลาง 30 mm หนา 10 mm

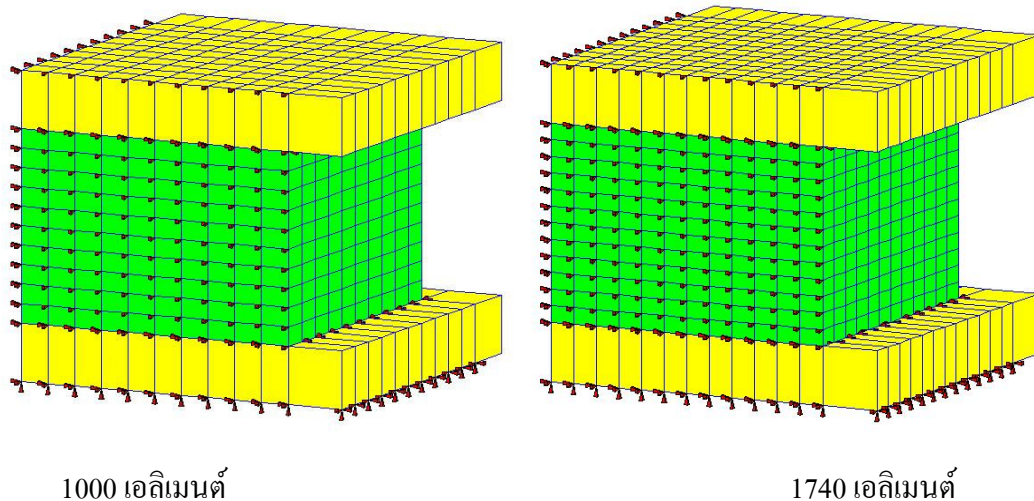
ผลการตรวจสอบความเหมาะสมของเอลิเมนต์ในแบบจำลองไฟไนต์เอลิเมนต์ของชิ้นงานแผ่นกลมทั้งสามขนาดที่จะใช้ในการยืนยันผลกระทบระหว่างแบบจำลองกับผลการทดสอบจริงระหว่างแบบจำลองที่มีจำนวนเอลิเมนต์ 1440 เอลิเมนต์ และแบบจำลองที่มีจำนวนเอลิเมนต์มากกว่าหนึ่งเท่าคือมีจำนวนเอลิเมนต์ 2880 เอลิเมนต์ พบร่วมแบบจำลองชิ้นงานขนาดเส้นผ่าศูนย์กลาง 30 mm หนา 10 mm ร้อยละความแตกต่างเฉลี่ยระหว่างแบบจำลองเท่ากับ 0.067% แบบจำลองชิ้นงานขนาดเส้นผ่าศูนย์กลาง 40 mm หนา 18 mm ร้อยละความแตกต่างเฉลี่ยระหว่างแบบจำลองเท่ากับ 0.184 % และแบบจำลองชิ้นงานขนาดเส้นผ่าศูนย์กลาง 50 mm หนา 30 mm ร้อยละความแตกต่างเฉลี่ยระหว่างแบบจำลอง เท่ากับ 0.284 %

จากผลการตรวจสอบข้างต้นพบว่าจำนวนเอลิเมนต์ของยางในแบบจำลองแบบแผ่นกลมที่มีจำนวนเอลิเมนต์ 1440 เอลิเมนต์ สามารถนำไปใช้งานได้ โดยมีค่าความคลาดเคลื่อนเมื่อเทียบกับแบบจำลองที่มีจำนวนเอลิเมนต์มากกว่าหนึ่งเท่านั้นกว่า 1% และจำนวนเอลิเมนต์เพียงพอต่อการนำไปศึกษา การปรับเปลี่ยนพารามิเตอร์

4.4.2.2 แบบจำลองชิ้นงานแบบแผ่นสี่เหลี่ยม

แบบจำลองที่ใช้สำหรับจำลองชิ้นงานแบบแผ่นสี่เหลี่ยม มีจำนวนเอลิเมนต์ของยางจำนวน 1000 เอลิเมนต์ และทำการเปรียบเทียบกับแบบจำลองที่มีเอลิเมนต์มากกว่าประมาณหนึ่ง

เท่าคือมีเอลิเมนต์ 1740 เอลิเมนต์ และจะทำการเปรียบเทียบแบบจำลองชิ้นงานแผ่นสี่เหลี่ยม 3 ขนาด คือ ขนาดความกว้าง ยาว 30 mm และหนา 10 mm ขนาดความกว้าง ยาว 40 mm และหนา 18 mm และขนาดความกว้าง ยาว 50 mm และหนา 30 mm ซึ่งตัวอย่างแบบจำลองแสดงดังรูปที่ 4.15



รูปที่ 4.15 แบบจำลองชิ้นงานแบบแผ่นสี่เหลี่ยมขนาดความกว้าง, ยาว 30 mm และหนา 10 mm

ผลการตรวจสอบความเหมาะสมของเอลิเมนต์ในแบบจำลองไฟไนต์เอลิเมนต์ของชิ้นงานแผ่นสี่เหลี่ยมทั้งสามขนาดที่จะใช้ในการยืนยันผลกระทบว่าแบบจำลองกับผลการทดสอบจริงระหว่างแบบจำลองที่มีจำนวนเอลิเมนต์ 1000 เอลิเมนต์ และแบบจำลองที่มีจำนวนเอลิเมนต์มากกว่าประมาณหนึ่งเท่าคือมีจำนวนเอลิเมนต์ 1740 เอลิเมนต์ พบร่วมแบบจำลองชิ้นงานขนาดความกว้าง ยาว 30 mm และหนา 10 mm ร้อยละความแตกต่างเฉลี่ยระหว่างแบบจำลองเท่ากับ 0.4% แบบจำลองชิ้นงานขนาดความกว้าง ยาว 40 mm และหนา 18 mm ร้อยละความแตกต่างเฉลี่ยระหว่างแบบจำลองเท่ากับ 0.01 % และ แบบจำลองชิ้นงานขนาดความกว้าง ยาว 50 mm และหนา 30 mm ร้อยละความแตกต่างเฉลี่ยระหว่างแบบจำลองเท่ากับ 0.05 %

จากผลการตรวจสอบข้างต้นพบว่าจำนวนเอลิเมนต์ของยางในแบบจำลองแบบแผ่นสี่เหลี่ยม ที่มีจำนวนเอลิเมนต์ 1000 เอลิเมนต์ สามารถนำไปใช้งานได้ โดยมีค่าความคลาดเคลื่อนเมื่อเทียบกับแบบจำลองที่มีจำนวนเอลิเมนต์มากกว่าประมาณหนึ่งเท่า น้อยกว่า 1% และจำนวนเอลิเมนต์เพียงพอต่อการนำไปศึกษา การปรับเปลี่ยนพารามิเตอร์

4.4.3 การยืนยันความถูกต้องของแบบจำลองไฟไนต์เอลิเมนต์ของรอยต่อชนยางกับการ

การยืนยันความถูกต้องของแบบจำลองไฟไนต์อลิเมนต์ มีวัตถุประสงค์หลักเพื่อ
ยืนยันให้แน่ใจว่าแบบจำลองที่สร้างขึ้นให้ผลคำนวณถูกต้องแม่นยำ เมื่อเปรียบเทียบกับการทดสอบ
ชิ้นงานจริง เมื่อแบบจำลองใช้พุติกรรมของยางและการที่ได้จากการทดสอบ โดยในการยืนยันผล
การคำนวณจะทำการเปรียบเทียบค่าต่อไปนี้คือ ค่าความแข็งตึงของรอยต่อค่า Vertical Compressive
Deformation และค่า Lateral Deformation โดยมีขั้นตอนและผลดังนี้

1. การเลือกขนาดของชิ้นยางที่ใช้ในการยืนยัน พิจารณาจากการเลือกยางที่มีความ
แข็งตึง ขณะรับแรงที่ความเครียดใดๆ เมื่อชิ้นงานยังไม่มีการเชื่อมต่อ หรือ Free Bonding โดยความ
แข็งตึงดังกล่าวแสดงไว้ในสมการที่ 2.60 ในบทที่ 2 คือ

$$K = \frac{EA_0}{L_0}$$

เมื่อ K คือความแข็งตึงของยางที่สภาวะใดๆ, A_0 คือพื้นที่หน้าตัดของยาง L_0 , คือ
ความหนาของยางและ E คือค่ามอดูலัสยืดหยุ่นของยางที่ความเครียดใดๆ (Secant Modulus)

จากสมการข้างต้นพบว่าความแข็งตึงของยางที่ความเครียดใดๆ ขึ้นอยู่กับค่า A_0 / L_0 ซึ่งเป็นรูปทรงเริมต้นของชิ้นยาง ดังนั้นในการพิจารณาชิ้นงานที่จะใช้ในการทดสอบให้มี
ความแข็งตึงของยางที่ความเครียดใดๆ ว่าเท่าหรือใกล้เคียงกันจึงสามารถพิจารณาจากค่า A_0 / L_0
ซึ่งได้ขนาดของชิ้นงานที่ใช้ทดสอบรูปทรงสามขนาดดังตารางที่ 4.4 และ 4.5

ตารางที่ 4.4 ชิ้นงานรูปทรงแบบแผ่นกลมที่มีค่าความแข็งตึงที่ความเครียดใดๆ ใกล้เคียงกัน

เส้นผ่าศูนย์กลาง (mm)	ความหนา (mm)	ความแข็งตึง ที่ความเครียดใดๆ K
1	30	10
2	40	18
3	50	30

ตารางที่ 4.5 ชิ้นงานรูปทรงแบบแผ่นสี่เหลี่ยมที่มีค่าความแข็งตึง ที่ความเครียดใดๆ ใกล้เคียงกัน

	ขนาดความกว้าง, ยาว (mm)	ความหนา (mm)	ความแข็งตึง ที่ความเครียดใดๆ K
1	30	10	90.0E
2	40	18	88.9E
3	50	30	83.4E

2. สร้างชิ้นงานตามขนาดที่กำหนดโดยใช้การทั้งสองชนิดคือ การยางและการแห้ง เร็วเป็นตัวชี้วัดชิ้นงานกับแผ่นโลหะและแบบไม่ใช้การในการยึดติด จากนั้นทดสอบด้วยแรงดึง และอัดแบบคล้ายสอดในแนวตั้งจากกับชิ้นงาน ทำการวัดการเปลี่ยนรูปของชิ้นงานในแนวแรงและการเปลี่ยนรูปของชิ้นงานในแนวตั้งจากกับแรง

3. สร้างสมการ โพลิโนเมียลกำลังสามของความสัมพันธ์ระหว่างการเปลี่ยนรูปของชิ้นงานในแนวแรงและการเปลี่ยนรูปของชิ้นงานในแนวตั้งจากกับแรงที่ได้จากการทดสอบ ดัง สมการที่ 4.7 พร้อมกับค่าสหสัมพันธ์ (Correlation Coefficient, r^2) ซึ่งบอกให้ทราบว่าสมการเหล่านี้ สามารถใช้แทนข้อมูลจากผลการทดสอบจริง ได้อย่างมั่นใจ เพราะมีค่าสหสัมพันธ์ประมาณเท่ากับ 1

$$l_x \text{ (mm)} = a_0 + a_1 l_z + a_2 l_z^2 + a_3 l_z^3 \quad (4.7)$$

เมื่อ

l_z คือระยะการเปลี่ยนรูปของชิ้นงานในแนวแรงในหน่วย mm

l_x คือระยะการเปลี่ยนรูปของชิ้นงานในแนวตั้งจากกับแนวแรงในหน่วย mm

a_0, a_1, a_2, a_3 คือค่าคงที่

4. สร้างแบบจำลองไฟไนต์เอลิเมนต์มีสมบัติของวัสดุในแบบจำลองตามที่ได้จาก การทดสอบตามตารางที่ 4.6 โดยแบบจำลองมีรูปร่างและขนาดเหมือนกับชิ้นงานที่ใช้ทดสอบจริง ทดสอบด้วยแรงดึงและกดผ่านแบบจำลอง ตรวจสอบการเปลี่ยนรูปของชิ้นงานในแนวแรงและการเปลี่ยนรูปของชิ้นงานในแนวตั้งจากกับแรงที่คำนวณได้จากแบบจำลอง

ตารางที่ 4.6 สมบัติเชิงกลของวัสดุในแบบจำลองไฟไนต์อเลิมเม้นต์

วัสดุ	ลักษณะอเลิมเม้นต์	สมบัติ	ค่าสมบัติของวัสดุ
ยาง	3-D Solid	Hyperelastic	แรงกด $C_{10}=2.843, C_{01}=-1.986,$ $C_{20}=2.013, C_{11}=-1.311, C_{02}=0.318 \text{ MPa}$
		แรงดึง	$C_{10}=-2.042, C_{01}=3.088,$ $C_{20}=1.414, C_{11}=-3.878, C_{02}=3.678 \text{ MPa}$
กาวยาง	Spring	Elastic	$E = 1.128 \text{ MPa}, G = 0.154 \text{ MPa}$
กาวแห้งเร็ว	Spring	Elastic	$E = 5.8 \text{ MPa}, G = 2.6 \text{ MPa}$
โลหะ	3-D Solid	Elastic	$E = 200 \text{ GPa}$

5. นำผลที่ได้จากการทดสอบชิ้นงานจริงเปรียบเทียบกับผลที่ได้จากแบบจำลองไฟไนต์อเลิมเม้นต์ คำนวณหาร้อยละของความแตกต่างเฉลี่ยต่ออัตราการความเครียดที่พิจารณาคือ 0 ถึง 30% ตามสมการที่ 4.8 เพื่อใช้เป็นตัวบ่งบอกว่าการเปรียบเทียบให้ผลจากแบบจำลองไฟไนต์อเลิมเม้นต์ ใกล้เคียงกับผลการทดสอบจริงมากน้อยเพียงใด

$$\text{ร้อยละความแตกต่างเฉลี่ย} (\%) = \frac{1}{N} \sum_{i=1}^N \frac{|l_{x(FEA)} - l_{x(exp)}|}{l_{x(exp)}} \times 100 \quad (4.8)$$

เมื่อ

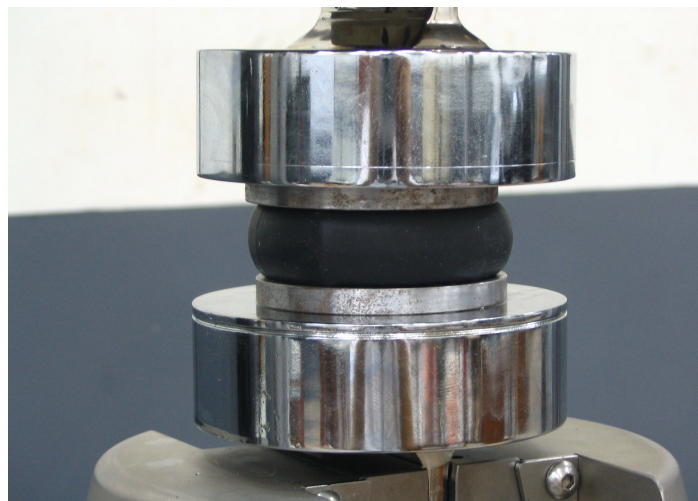
$l_{x(FEA)}$ คือระบบการเปลี่ยนรูปของชิ้นงานในแนวตั้งจากกับแนวแรงที่ได้จากแบบจำลอง

$l_{x(exp)}$ คือระบบการเปลี่ยนรูปของชิ้นงานในแนวตั้งจากกับแนวแรงที่ได้จากการทดลอง

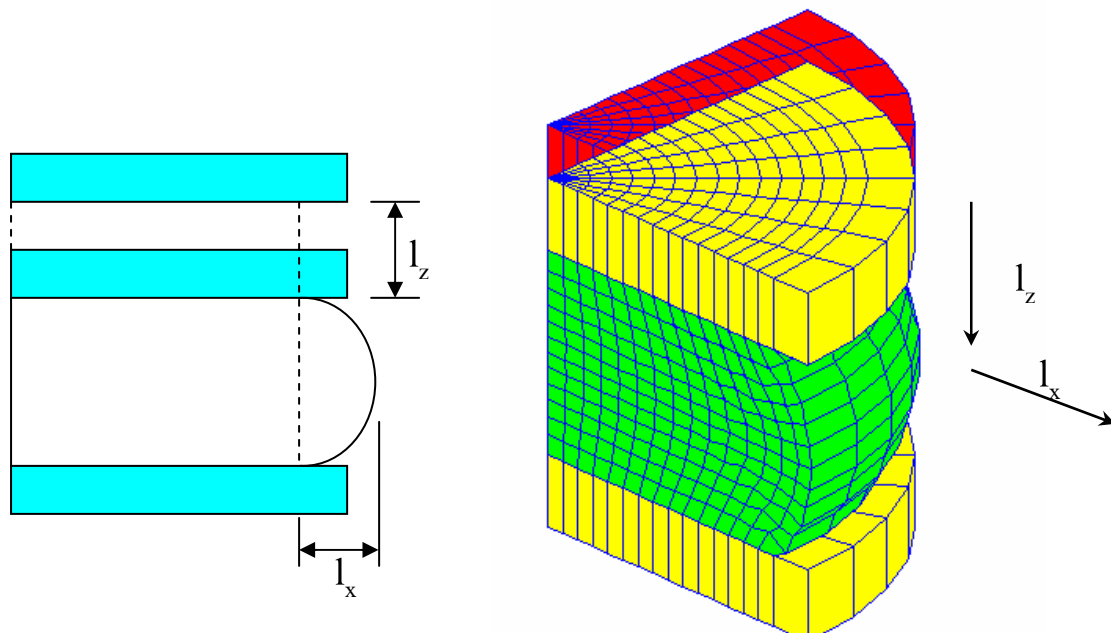
N คือจำนวนคู่สำหรับความสัมพันธ์ระหว่างการเปลี่ยนรูปของชิ้นงานในแนวตั้งจากกับแนวแรงและในแนวแรง

4.4.3.1 ผลการยืนยันความถูกต้องของแบบจำลองไฟไนต์อิเลิเมนต์แบบแผ่นกลมรับแรงกด

ผลการทดสอบของชิ้นงานแบบแผ่นกลมขนาดทั้งสามขนาดดังรูปที่ 4.16 โดยแต่ละขนาดมีการยึดติดชิ้นงานกับแผ่นโลหะด้วยการทั้งสองชนิด เมื่อรับแรงกดแสดงผลการทดสอบในรูปของสมการ โพลิโนเมียลกำลังสามแสดงดังตารางที่ 4.7 และผลการประมวลผลจากแบบจำลองไฟไนต์อิเลิเมนต์ดังรูปที่ 4.17 แสดงดังตารางที่ 4.8



รูปที่ 4.16 ชิ้นงานยางแผ่นกลมรับแรงกด



รูปที่ 4.17 แบบจำลองชิ้นงานยางแผ่นกลมรับแรงกด

ตารางที่ 4.7 แสดงผลการทดสอบของชิ้นงานแบบแผ่นกลม เมื่อรับแรงกด

แสดงผลในเทอมของค่าคงที่และค่าสหสัมพันธ์ของการเปลี่ยนรูปของชิ้นงานในแนวแรงและการเปลี่ยนรูปของชิ้นงานในแนวตั้งจากกับแรง ตามสมการที่ 4.7

ตัวอย่างทดสอบ	ลักษณะการ ยึดติด	ลักษณะการ ยึดติด	a_2	a_1	a_0	r^2	ความเครียด (%)
เส้นผ่าศูนย์กลาง 30 mm หนา 10 mm							
CCF_30_10_01	free bond		0.0004	0.0681	0.7987	0.9999	30
CCF_30_10_02			0.0109	0.0313	0.8228	0.9998	30
CCR_30_10_03	rubber glue		0.0333	-0.0592	0.9809	0.9997	30
CCR_30_10_04			0.0078	0.1005	0.7905	0.9999	30
CCI_30_10_05	instant glue		-0.0564	0.3187	0.7831	0.9994	30
CCI_30_10_06			0.0219	-0.0692	1.2065	0.9993	30
เส้นผ่าศูนย์กลาง 40 mm หนา 18 mm							
CCF_40_18_01	free bond		-0.0008	0.0455	0.4710	0.9997	30
CCF_40_18_02			-0.0062	0.0882	0.4351	0.9987	30
CCR_40_18_03	rubber glue		-0.0017	0.0622	0.5700	1	30
CCR_40_18_04			0.0019	0.0240	0.6217	0.9997	30
CCI_40_18_05	instant glue		-0.0063	0.0910	0.6134	0.9996	30
CCI_40_18_06			-0.0056	0.0791	0.6306	0.9999	30
เส้นผ่าศูนย์กลาง 50 mm หนา 30 mm							
CCF_50_30_01	free bond		-0.0026	0.0448	0.3406	0.9999	30
CCF_50_30_02			-0.0004	0.0275	0.3600	0.9996	30
CCR_50_30_03	rubber glue		0.0000	0.0264	0.4717	1	30
CCR_50_30_04			0.0004	0.0229	0.4567	0.9999	30
CCI_50_30_05	instant glue		0.0007	0.0077	0.6659	0.9999	30
CCI_50_30_06			-0.0004	0.0234	0.6009	0.9999	30

สัญลักษณ์ เช่น CCF_30_10_01 ชิ้นงานทดสอบชิ้นที่ 1 แบบกลมรับแรงกด เชื่อมต่อแบบ Free Bonding ขนาดเส้นผ่าศูนย์กลาง 30 mm หนา 10 mm

CCR_40_18_03 ชิ้นงานทดสอบชิ้นที่ 3 แบบกลมรับแรงกดเชื่อมต่อด้วยการข่าย ขนาดเส้นผ่าศูนย์กลาง 40 mm หนา 18 mm

CCI_30_10_06 ชิ้นงานทดสอบชิ้นที่ 6 แบบกลมรับแรงกดเชื่อมต่อด้วยการแห้งเร็ว ขนาดเส้นผ่าศูนย์กลาง 30 mm หนา 10 mm

ตารางที่ 4.8 แสดงผลการประมวลผลจากแบบจำลองไฟไนต์เอลิเมนต์ของชิ้นงานแบบแผ่นกลม เมื่อรับแรงกด

แสดงผลในเทอมของค่าคงที่และค่าสหสัมพันธ์ของการเปลี่ยนรูปของชิ้นงานในแนวตรงและการเปลี่ยนรูปของชิ้นงานในแนวตั้งจากกับแรง ตามสมการที่ 4.7

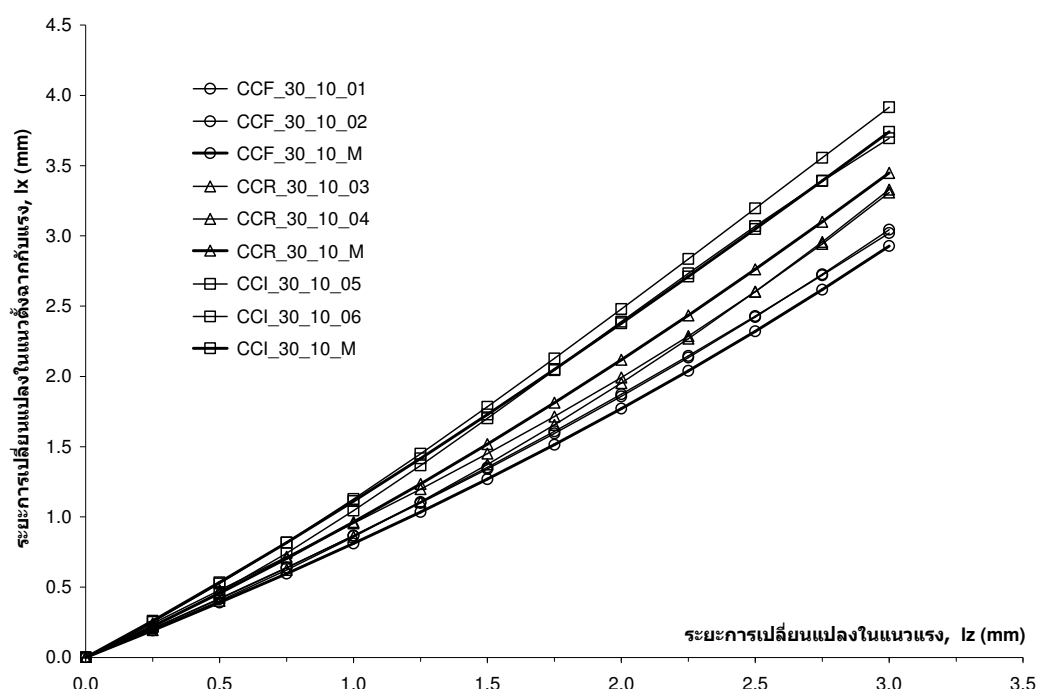
แบบจำลอง FEM	ลักษณะการ ขีดคิด	a_2	a_1	a_0	r^2	ความเครียด (%)
เส้นผ่าศูนย์กลาง 30 mm หนา 10 mm						
CCF_30_10_M	free bond	0.0084	0.0486	0.7545	1	30
CCR_30_10_M	rubber glue	-0.0029	0.1046	0.8615	1	30
CCI_30_10_M	instant glue	-0.0090	0.1030	1.0186	1	30
เส้นผ่าศูนย์กลาง 40 mm หนา 18 mm						
CCF_40_18_M	free bond	0.0019	0.0202	0.5582	1	30
CCR_40_18_M	rubber glue	-0.0018	0.0479	0.6579	0.9999	30
CCI_40_18_M	instant glue	-0.0035	0.0567	0.7266	0.9999	30
เส้นผ่าศูนย์กลาง 50 mm หนา 30 mm						
CCF_50_30_M	free bond	0.0006	0.0096	0.4336	1	30
CCR_50_30_M	rubber glue	-0.0003	0.0253	0.5155	1	30
CCI_50_30_M	instant glue	-0.0010	0.0331	0.5530	1	30

สัญลักษณ์ เช่น CCF_30_10_M แบบจำลองชิ้นงานแบบกลมรับแรงกดเชื่อมต่อแบบอิสระ (Free Bonding) ขนาดเส้นผ่าศูนย์กลาง 30 mm หนา 10 mm

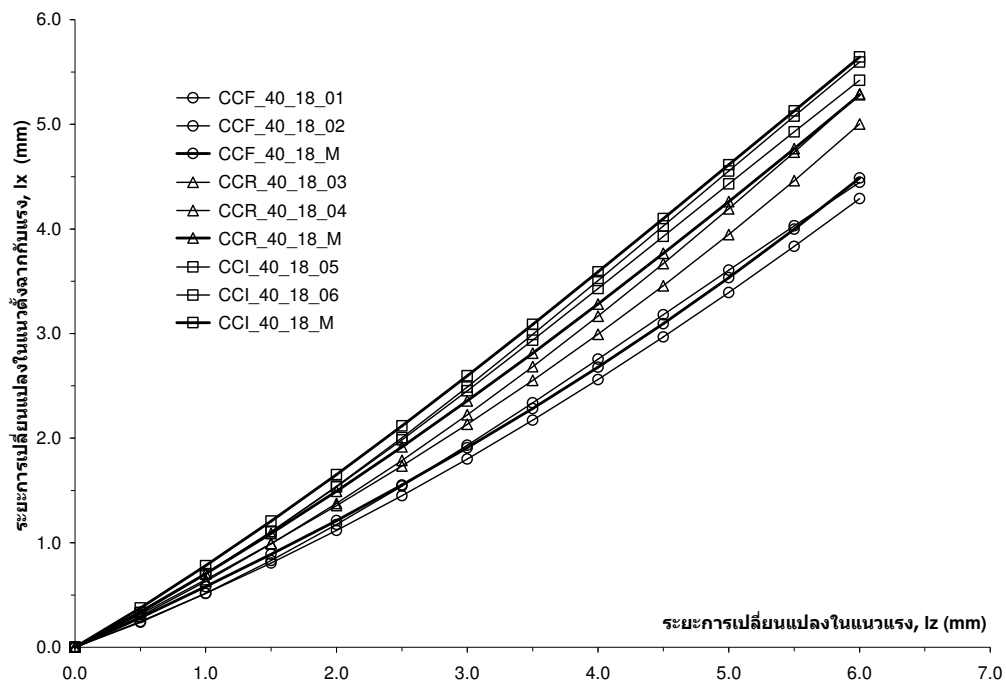
CCR_40_18_M แบบจำลองชิ้นงานแบบกลมรับแรงกดเชื่อมต่อด้วยกาวยาง ขนาดเส้นผ่าศูนย์กลาง 40 mm หนา 18 mm

CCI_50_30_M แบบจำลองชิ้นงานแบบกลมรับแรงกดเชื่อมต่อด้วยการแห้งเร็ว ขนาดเส้นผ่าศูนย์กลาง 50 mm หนา 30 mm

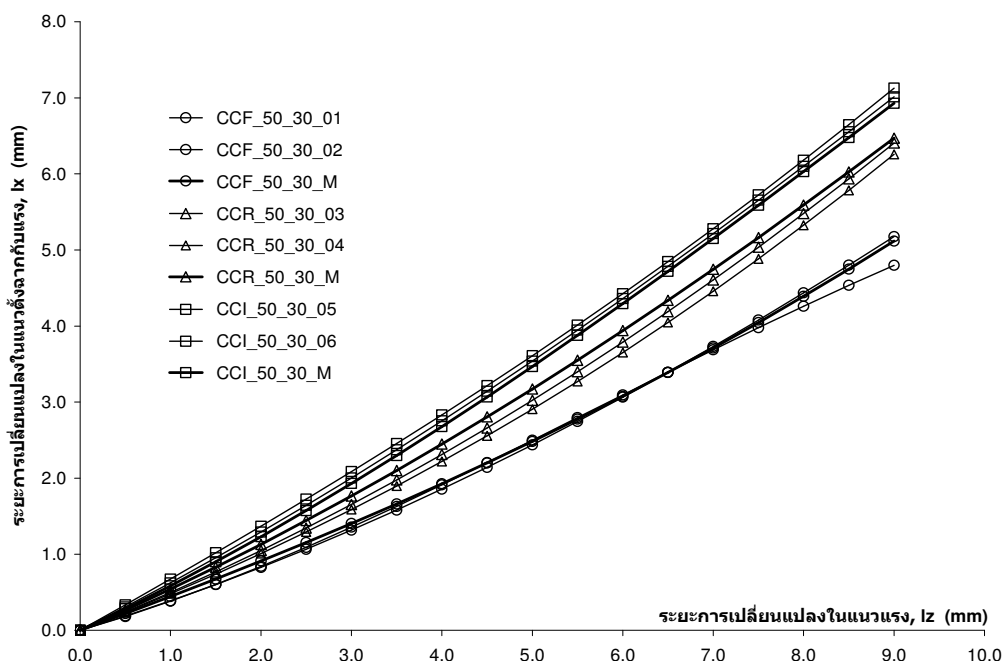
เมื่อนำมาค่าระยะการเปลี่ยนแปลงในแนวตั้งจากกับแรง (I_x) ที่แตกต่างของการเปลี่ยนแปลงในแนวแรง (I_z) ที่วัดได้จากการทดสอบเปรียบเทียบกับผลที่ประมาณผลได้จากต้นแบบไฟฟ้าในตัวอย่างต่างๆ แสดงได้ดังรูปที่ 4.18, 4.19 และ 4.20 นอกจากนี้ยังแสดงร้อยละของความแตกต่างเฉลี่ยของผลที่ได้ทั้งสองวิธีตามสมการที่ 4.8 ดังตารางที่ 4.9 โดยพบว่าค่าความแตกต่างเฉลี่ยของชิ้นงานขนาดเส้นผ่าศูนย์กลาง 30 mm หนา 10 mm อยู่ในช่วง 2.86 ถึง 8.80 เปอร์เซ็นต์ ขนาดเส้นผ่าศูนย์กลาง 40 mm หนา 18 mm อยู่ในช่วง 4.23 ถึง 8.17 เปอร์เซ็นต์ และขนาดเส้นผ่าศูนย์กลาง 50 mm หนา 30 mm อยู่ในช่วง 2.75 ถึง 8.49 เปอร์เซ็นต์ แสดงให้เห็นว่าแบบจำลองมีความน่าเชื่อถือเมื่อเทียบกับผลการทดลอง สามารถนำไปใช้วิเคราะห์พารามิเตอร์อื่นๆ ที่สนใจต่อไปได้



รูปที่ 4.18 การเปลี่ยนรูปของชิ้นงานในแนวแรงและในแนวตั้งจากกับแรงที่ได้จากแบบจำลองเปรียบเทียบกับผลการทดลองของชิ้นงานขนาดเส้นผ่าศูนย์กลาง 30 mm หนา 10 mm



รูปที่ 4.19 การเปลี่ยนรูปของชิ้นงานในแนวแรงและในแนวตั้งจากกับแรงที่ได้จากแบบจำลอง
เปรียบเทียบกับผลการทดลองของชิ้นงานขนาดเส้นผ่าศูนย์กลาง 40 mm หนา 18 mm



รูปที่ 4.20 การเปลี่ยนรูปของชิ้นงานในแนวแรงและในแนวตั้งจากกับแรงที่ได้จากแบบจำลอง
เปรียบเทียบกับผลการทดลองของชิ้นงานขนาดเส้นผ่าศูนย์กลาง 50 mm หนา 30 mm

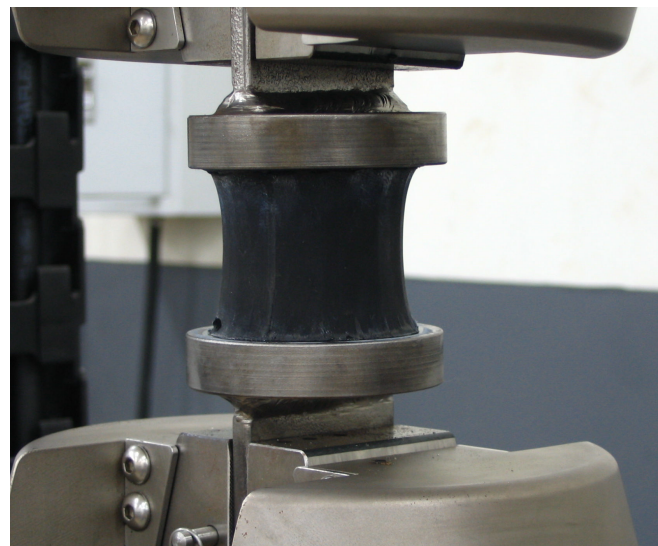
ตารางที่ 4.9 ค่าเฉลี่ยร้อยละความแตกต่างของการเปลี่ยนรูปในแนวตั้งจากกับแรง ที่ประมวลผลด้วยแบบจำลองไฟไนต์อิเลิมิเนต์เทียบกับผลการทดสอบ ตลอดช่วงความเครียด 0-30%

FEM Model	Experiment	ค่าเฉลี่ยความแตกต่าง(%)	ความเครียด(%)
เส้นผ่าศูนย์กลาง 30 mm หนา 10 mm			
CCF_30_10_M (free bond)	CCF_30_10_01 CCF_30_10_02	5.00 5.01	30 30
CCR_30_10_M (rubber glue)	CCR_30_10_03 CCR_30_10_04	4.44 8.80	30 30
CCI_30_10_M (instant glue)	CCI_30_10_05 CCI_30_10_06	4.76 2.86	30 30
เส้นผ่าศูนย์กลาง 40 mm หนา 18 mm			
CCF_40_18_M (free bond)	CCF_40_18_01 CCF_40_18_02	6.64 4.23	30 30
CCR_40_18_M (rubber glue)	CCR_40_18_03 CCR_40_18_04	5.42 8.17	30 30
CCI_40_18_M (instant glue)	CCI_40_18_05 CCI_40_18_06	4.86 6.10	30 30
เส้นผ่าศูนย์กลาง 50 mm หนา 30 mm			
CCF_50_30_M (free bond)	CCF_50_30_01 CCF_50_30_02	4.63 4.69	30 30
CCR_50_30_M (rubber glue)	CCR_50_30_03 CCR_50_30_04	4.85 8.49	30 30
CCI_50_30_M (instant glue)	CCI_50_30_05 CCI_50_30_06	5.68 2.75	30 30

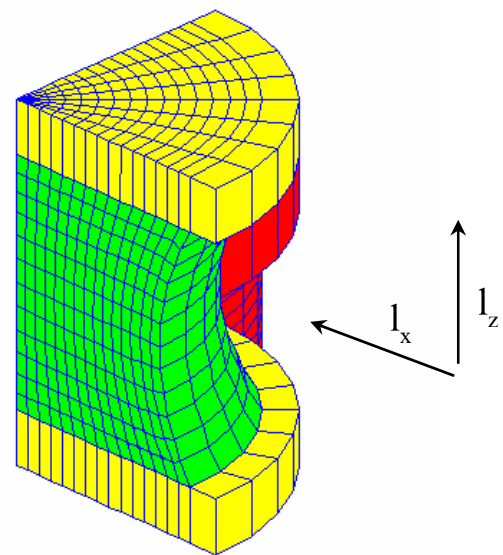
4.4.3.2 ผลการยืนยันความถูกต้องของแบบจำลองไฟไนต์อิเลิมิเนต์แบบแผ่นกลมรับแรงดึง

ผลการทดสอบของชิ้นงานแบบแผ่นกลมขนาดทั้งสามขนาดดังรูปที่ 4.21 โดยแต่ละขนาดทำการยึดติดชิ้นงานกับแผ่นโลหะด้วยการแห้งเร็ว (ชิ้นงานที่ได้รับแรงดึง

ได้น้อยมากทำให้ไม่สามารถตัวค่าการเปลี่ยนรูปของชิ้นงานได้ เมื่อรับแรงดึงแสดงผลการทดสอบในรูปของสมการ โพลีโนเมียนกำลังสามแสดงดังตารางที่ 4.10 และผลการประมวลผลจากแบบจำลองไฟไนต์เอลิเมนต์ดังรูปที่ 4.22 แสดงดังตารางที่ 4.11



รูปที่ 4.21 ชิ้นงานยางแผ่นกลมรับแรงดึง



รูปที่ 4.22 แบบจำลองชิ้นงานยางแผ่นกลมรับแรงดึง

ตารางที่ 4.10 แสดงผลการทดสอบของชิ้นงานแบบแผ่นกลมเมื่อรับแรงดึง

แสดงผลในเทอมของค่าคงที่และค่าสหสัมพันธ์ของการเปลี่ยนรูปของชิ้นงานในแนวแรงและการเปลี่ยนรูปของชิ้นงานในแนวตั้งจากกับแรง ตามสมการที่ 4.7

ตัวอย่างทดสอบ	ลักษณะการ ยึดติด	a_2	a_1	a_0	r^2	ความเครียด (%)
เส้นผ่าศูนย์กลาง 30 mm หนา 10 mm						
TCI_30_10_01	instant glue	0.0026	-0.1186	1.1381	0.9988	30
TCI_30_10_02		-0.0053	-0.0711	1.0445	0.9969	30
เส้นผ่าศูนย์กลาง 40 mm หนา 18 mm						
TCI_40_18_01	instant glue	0.0034	-0.0822	0.9368	0.9997	30
TCI_40_18_02		0.0019	-0.0667	0.9148	0.9997	30
เส้นผ่าศูนย์กลาง 50 mm หนา 30 mm						
TCI_50_30_01	instant glue	0.00001	-0.0139	0.5680	0.9998	30
TCI_50_30_02		0.0011	-0.0348	0.6669	0.9992	30

สัญลักษณ์ เช่น TCI_30_10_01 ชิ้นงานทดสอบชิ้นที่ 1 แบบกลมรับแรงดึง เชื่อมต่อด้วยการแห้งเร็ว ขนาดเส้นผ่าศูนย์กลาง 30 mm หนา 10 mm

TCI_40_18_01 ชิ้นงานทดสอบชิ้นที่ 1 แบบกลมรับแรงดึงเชื่อมต่อด้วยการแห้งเร็ว ขนาดเส้นผ่าศูนย์กลาง 40 mm หนา 18 mm

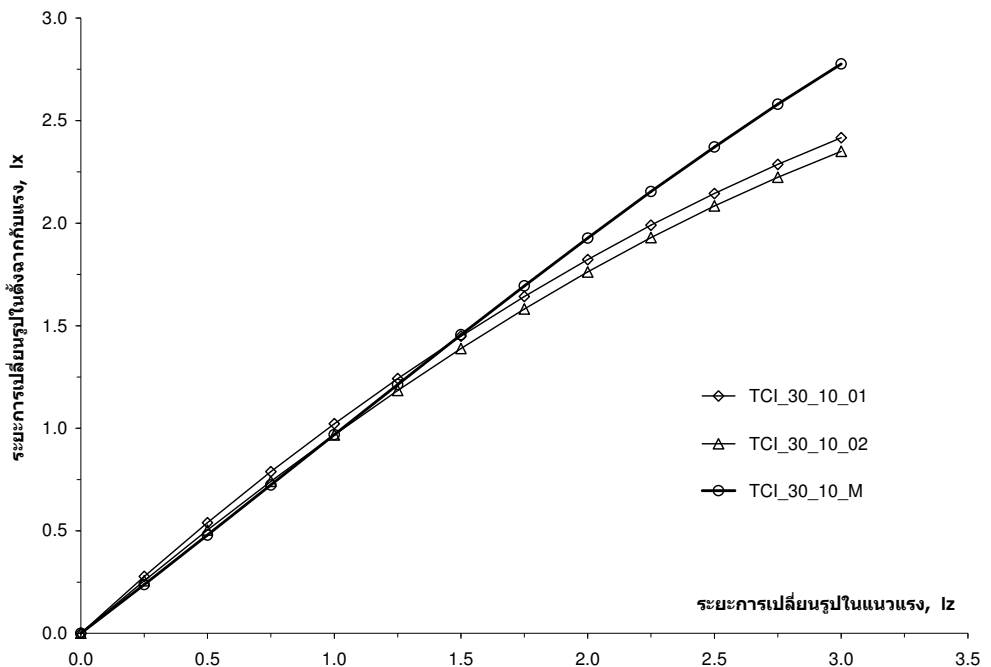
TCI_50_30_02 ชิ้นงานทดสอบชิ้นที่ 2 แบบกลมรับแรงดึงเชื่อมต่อด้วยการแห้งเร็ว ขนาดเส้นผ่าศูนย์กลาง 50 mm หนา 30 mm

แบบจำลอง FEM	ลักษณะการ ยึดติด	a_2	a_1	a_0	r^2	ความเครียด (%)
เส้นผ่าศูนย์กลาง 30 mm หนา 10 mm TCI_30_10_M	instant glue	-0.0166	0.0447	0.9407	1	30
เส้นผ่าศูนย์กลาง 40 mm หนา 18 mm TCI_40_18_M	instant glue	-0.0031	0.0092	0.7023	1	30
เส้นผ่าศูนย์กลาง 50 mm หนา 30 mm TCI_50_30_M	instant glue	-0.0007	0.0006	0.5397	1	30

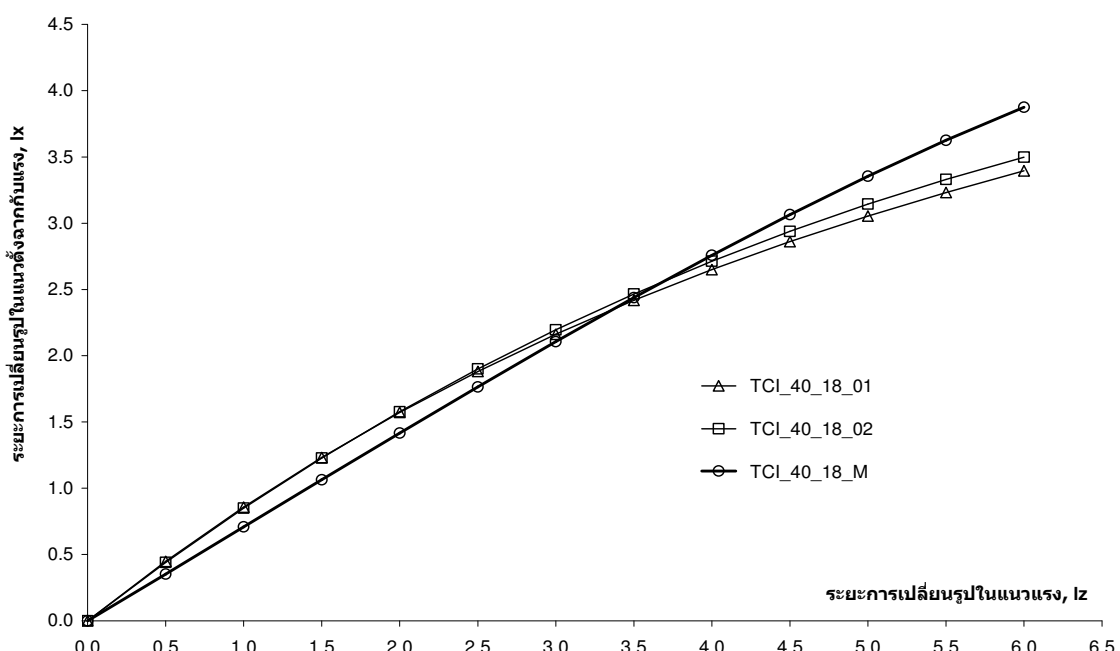
สัญลักษณ์ เช่น TCI_30_10_M แบบจำลองชิ้นงานแบบกลมรับแรงดึงเชื่อมต่อด้วยการแห้งเร็ว ขนาดเส้นผ่าศูนย์กลาง 30 mm หนา 10 mm

TCP_40_18_M แบบจำลองชิ้นงานแบบกลมรับแรงดึงเชื่อมต่อแบบสมบูรณ์
TCI_50_30_M แบบจำลองชิ้นงานแบบกลมรับแรงดึงเชื่อมต่อด้วยการแห้งเร็ว ขนาดเส้นผ่าศูนย์กลาง 50 mm หนา 30 mm

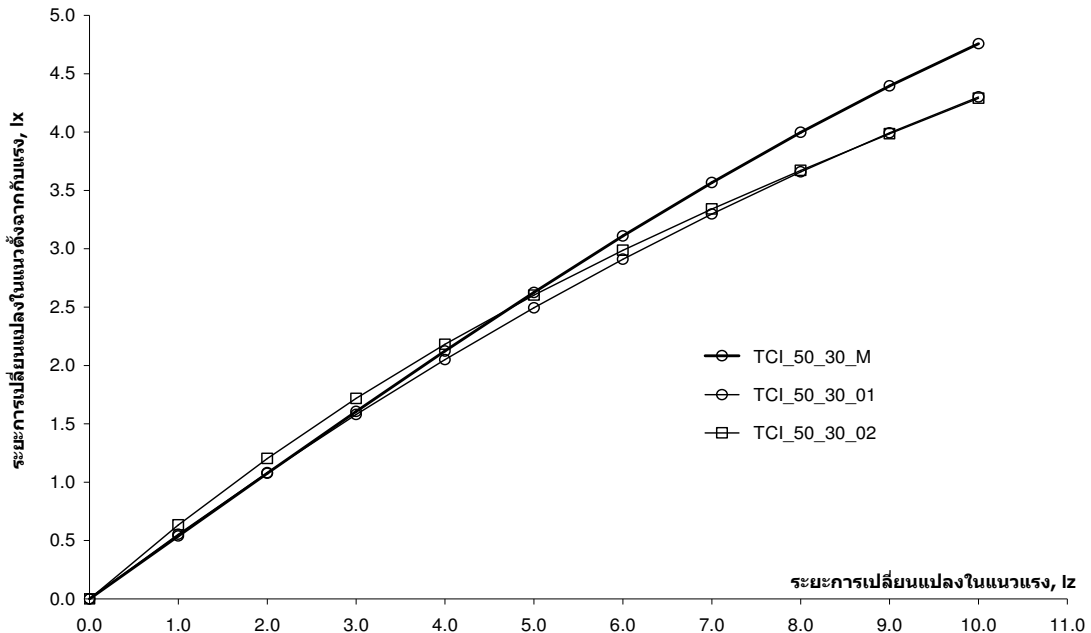
เมื่อนำเอาค่าระยะการเปลี่ยนแปลงในแนวตั้งจากกันแรง (I_x) ที่แต่ละค่าของการเปลี่ยนแปลงในแนวแรง (I_z) ที่วัดได้จากการทดสอบเปรียบเทียบกับผลที่ประมวลผลได้จากต้นแบบไฟฟ้าในตัวอย่างตัวต่างๆ แสดงได้ดังรูปที่ 4.23, 4.24 และ 4.25 นอกจากนี้ยังแสดงร้อยละของความแตกต่างเฉลี่ยของผลที่ได้ทั้งสองวิธีตามสมการที่ 4.8 ดังตารางที่ 4.12 โดยพบว่า ค่าความแตกต่างเฉลี่ยของชิ้นงานขนาดเส้นผ่าศูนย์กลาง 30 mm มีค่า 7.46 และ 7.53 เปอร์เซ็นต์ ขนาดเส้นผ่าศูนย์กลาง 40 mm มีค่า 9.17 และ 8.06 เปอร์เซ็นต์ และขนาดเส้นผ่าศูนย์กลาง 50 mm มีค่า 5.32 และ 6.94 เปอร์เซ็นต์ แสดงให้เห็นว่าแบบจำลองมีความน่าเชื่อถือเมื่อเทียบกับผลการทดลองสามารถนำไปใช้ในคราฟพารามิตเตอร์อื่นๆ ที่สนใจต่อไปได้



รูปที่ 4.23 การเปลี่ยนรูปของชิ้นงานในแนวแรงดึงและในแนวตั้งจากกับแรงที่ได้จากแบบจำลอง
เปรียบเทียบกับผลการทดลองของชิ้นงานขนาดเส้นผ่าศูนย์กลาง 30 mm หนา 10 mm



รูปที่ 4.24 การเปลี่ยนรูปของชิ้นงานในแนวแรงดึงและในแนวตั้งจากกับแรงที่ได้จากแบบจำลอง
เปรียบเทียบกับผลการทดลองของชิ้นงานขนาดเส้นผ่าศูนย์กลาง 40 mm หนา 18 mm



รูปที่ 4.25 การเปลี่ยนรูปของชิ้นงานในแนวแรงดึงและในแนวตั้งจากกับแรงที่ได้จากแบบจำลอง
เปรียบเทียบกับผลการทดลอง ของชิ้นงานขนาดเส้นผ่าศูนย์กลาง 50 mm หนา 30 mm
ตารางที่ 4.12 ค่าเฉลี่ยร้อยละความแตกต่างของการเปลี่ยนรูปในแนวตั้งจากกับแรง ที่
ประมาณผลด้วยแบบจำลองไฟฟ้าในตัวอิเล็กทรอนิกส์เทียบกับผลการทดลอง ตลอดช่วงความเครียด 0-30%

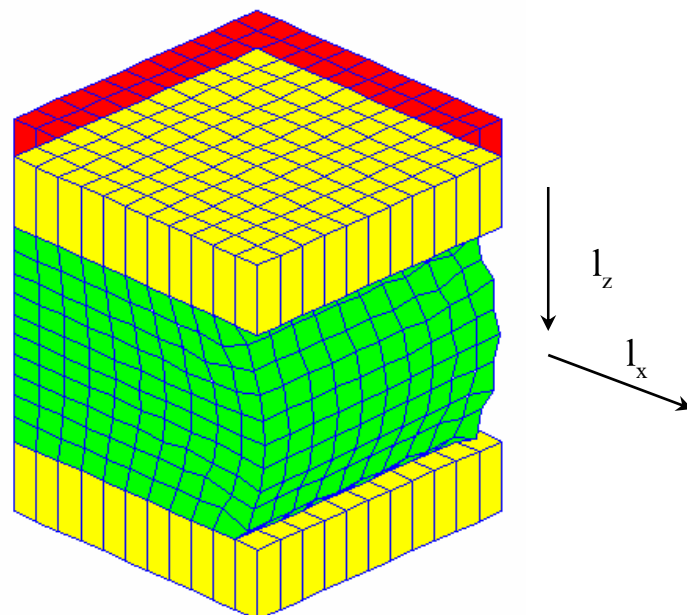
FEM Model	Experiment	ค่าเฉลี่ยความแตกต่าง(%)	ความเครียด(%)
เส้นผ่าศูนย์กลาง 30 mm หนา 10 mm			
TCI_30_10_M (instant glue)	TCI_30_10_01 TCI_30_10_02	7.46 7.53	30 30
เส้นผ่าศูนย์กลาง 40 mm หนา 18 mm			
TCI_40_18_M (instant glue)	TCI_40_18_01 TCI_40_18_02	9.17 8.06	30 30
เส้นผ่าศูนย์กลาง 50 mm หนา 30 mm			
TCI_50_30_M (instant glue)	TCI_50_30_01 TCI_50_30_02	5.32 6.94	30 30

4.4.3.3 ผลการยืนยันความถูกต้องของแบบจำลองไฟไนต์เอลิเม้นต์แบบแผ่นสีเหลี่ยมรับแรงกด

ผลการทดสอบของชิ้นงานแบบแผ่นสีเหลี่ยมทั้งสามขนาดดังรูปที่ 4.26 โดยแต่ละขนาดการยึดติดชิ้นงานกับแผ่นโลหะด้วยการทั้งสองชนิด เมื่อรับแรงกดแสดงผลการทดสอบในรูปของสมการโพลิโนเมียนกำลังสามแสดงดังตารางที่ 4.13 และผลการประมาณผลจากโมเดลแบบจำลองไฟไนต์เอลิเม้นต์ดังรูปที่ 4.27แสดงดังตารางที่ 4.14



รูปที่ 4.26 ชิ้นงานยางแผ่นสีเหลี่ยมรับแรงกด



รูปที่ 4.27 แบบจำลองชิ้นงานยางแผ่นสีเหลี่ยมรับแรงกด

ตารางที่ 4.13 แสดงผลการทดสอบของชิ้นงานแบบแผ่นสีเหลี่ยมเมื่อรับแรงกด

แสดงผลในเทอมของค่าคงที่และค่าสหสัมพันธ์ของการเปลี่ยนรูปของชิ้นงานในแนวแรงและการเปลี่ยนรูปของชิ้นงานในแนวตั้งจากกับแรง ตามสมการที่ 4.7

ตัวอย่างทดสอบ	ลักษณะการยึดติด	a ₂	a ₁	a ₀	r ²	ความเครียด (%)
ความกว้าง ยาว 30 mm หนา 10 mm						
CRF_30_10_01	free bond	0.0442	-0.0834	0.8961	0.9999	30
CRF_30_10_02		0.0280	-0.0537	0.9351	0.9984	30
CRR_30_10_03	rubber glue	-0.0012	0.1299	0.8441	1	30
CRR_30_10_04		0.0035	0.1270	0.8338	1	30
CRI_30_10_05	instant glue	-0.0523	0.2621	0.9799	1	30
CRI_30_10_06		-0.0742	0.3753	0.9231	1	30
ความกว้าง ยาว 40 mm หนา 18 mm						
CRF_40_18_01	free bond	-0.0011	0.0523	0.5464	0.9999	30
CRF_40_18_02		0.0011	0.0556	0.4520	0.9999	30
CRR_40_18_03	rubber glue	0.0018	0.0314	0.6661	1	30
CRR_40_18_04		-0.0003	0.0565	0.6335	1	30
CRI_40_18_05	instant glue	-0.0024	0.0291	0.9366	1	30
CRI_40_18_06		-0.0071	0.0701	0.9229	0.9996	30
ความกว้าง ยาว 50 mm หนา 30 mm						
CRF_50_30_01	free bond	0.0005	0.0099	0.4438	0.9994	30
CRF_50_30_02		-0.0004	0.0233	0.3626	0.9984	30
CRR_50_30_03	rubber glue	0.0000	0.0244	0.4798	0.9999	30
CRR_50_30_04		0.0028	-0.0156	0.6159	0.9999	30
CRI_50_30_05	instant glue	-0.0009	0.0164	0.6964	0.9998	30
CRI_50_30_06		-0.0011	0.0417	0.5063	0.9998	30

สัญลักษณ์ เช่น CRF_30_10_01 ชิ้นงานทดสอบชิ้นที่ 1 แบบแผ่นสีเหลี่ยมรับแรงกดเชื่อมต่อแบบอิสระ (Free Bonding) ขนาดความกว้าง ยาว 30 mm หนา 10 mm

CRR_40_18_03 ชิ้นงานทดสอบชิ้นที่ 3 แบบแผ่นสีเหลี่ยมรับแรงกดเชื่อมต่อด้วยกาวยาง ขนาดความกว้าง ยาว 40 mm หนา 18 mm

ตารางที่ 4.14 แสดงผลการประมวลผลแบบจำลองชิ้นงานแบบแผ่นกลมเมื่อรับแรงกด
แสดงผลในเทอมของค่าคงที่และค่าสหสัมพันธ์ของการเปลี่ยนรูปของชิ้นงานใน
แนวแรงและการเปลี่ยนรูปของชิ้นงานในแนวตั้งจากกับแรง ตามสมการที่ 4.7

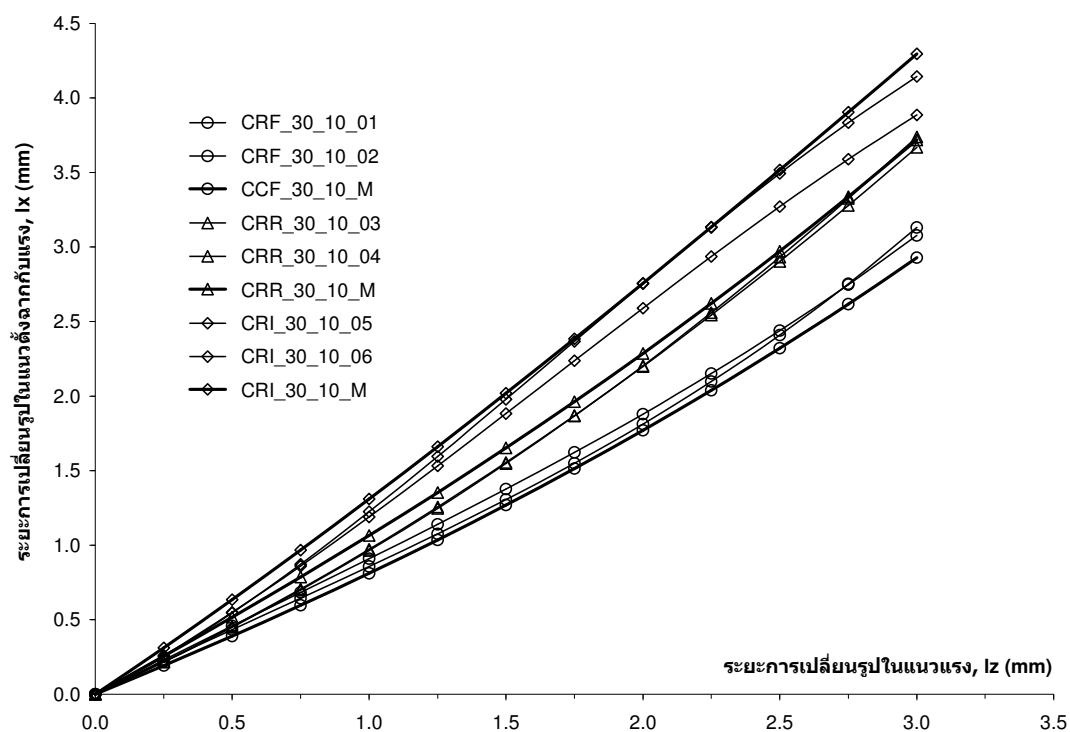
แบบจำลอง FEM	ลักษณะการ ยึดติด	a_2	a_1	a_0	r^2	ความเครียด (%)
ความกว้าง ยาว 30 mm หนา 10 mm						
CRF_30_10_M	free bond	0.0086	0.0480	0.7547	1	30
CRR_30_10_M	rubber glue	0.0092	0.0506	1.0049	1	30
CRI_30_10_M	instant glue	-0.0076	0.0917	1.2252	1	30
ความกว้าง ยาว 40 mm หนา 18 mm						
CRF_40_18_M	free bond	0.0019	0.0199	0.5589	1	30
CRR_40_18_M	rubber glue	0.0015	0.0306	0.7485	1	30
CRI_40_18_M	instant glue	0.0016	0.0347	0.8713	1	30
ความกว้าง ยาว 50 mm หนา 30 mm						
CRF_50_30_M	free bond	0.0005	0.0089	0.4193	1	30
CRR_50_30_M	rubber glue	0.0003	0.0180	0.5543	1	30
CRI_50_30_M	instant glue	0.0010	0.0140	0.6275	1	30

สัญลักษณ์ เช่น CRF_30_10_M แบบจำลองชิ้นงานแบบแผ่นสี่เหลี่ยมรับแรงกด
เชื่อมต่อแบบอิสระ (Free Bonding) ขนาดความกว้าง ยาว 30 mm หนา 10 mm

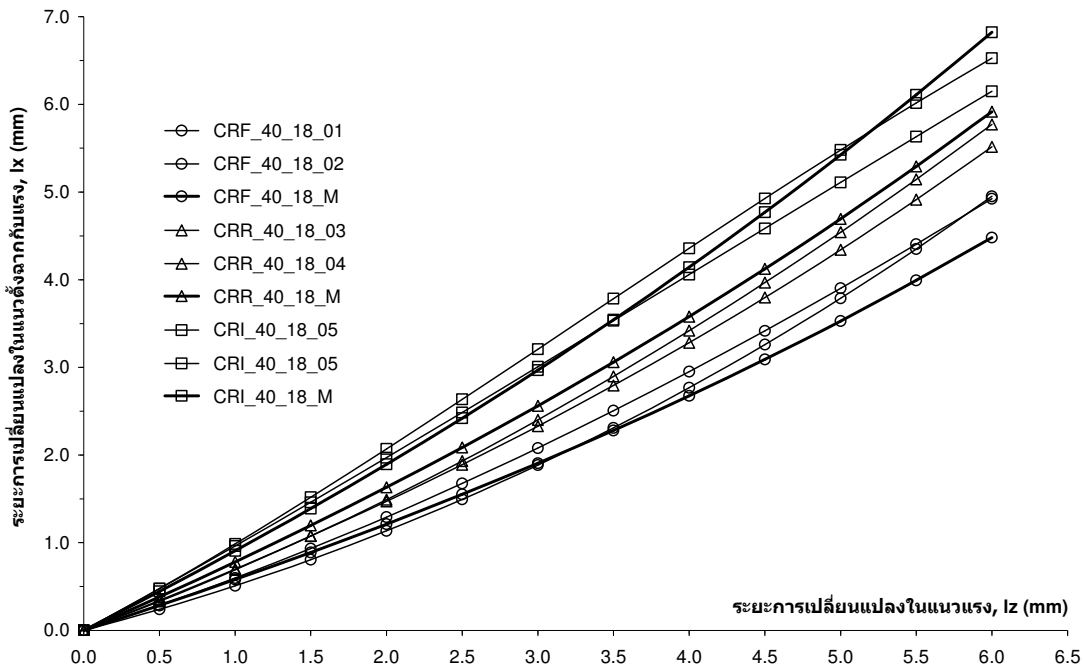
CRR_40_18_M แบบจำลองชิ้นงานแบบแผ่นสี่เหลี่ยมรับแรงกดเชื่อมต่อด้วยกา
ยาง ขนาดความกว้าง ยาว 40 mm หนา 18 mm

CRI_40_18_M แบบจำลองชิ้นงานแบบแผ่นสี่เหลี่ยมรับแรงกดเชื่อมต่อด้วยกา
แห้งเร็ว ขนาดความกว้าง ยาว 40 mm หนา 18 mm

เมื่อนำเอาค่าระยะการเปลี่ยนแปลงในแนวตั้งจากกับแรง (I_x) ที่แต่ละค่าของการเปลี่ยนแปลงในแนวแรง (I_z) ที่วัดได้จากการทดสอบเปรียบเทียบกับผลที่ประมาณผลได้จากต้นแบบไฟฟ้าในต่ออุลิเมนต์ขนาดต่างๆ แสดงได้ดังรูปที่ 4.28, 4.29 และ 4.30 นอกจากนี้ยังแสดงร้อยละของความแตกต่างเฉลี่ยของผลที่ได้ทั้งสองวิธีตามสมการที่ 4.8 ดังตารางที่ 4.15 โดยพบว่า ค่าความแตกต่างเฉลี่ยของชิ้นงานขนาดความกว้าง ยาว 30 mm อยู่ในช่วง 4.93 ถึง 9.23 เปอร์เซ็นต์ ขนาดความกว้าง ยาว 40 mm อยู่ในช่วง 4.37 ถึง 8.95 เปอร์เซ็นต์ และขนาดความกว้าง ยาว 50 mm อยู่ในช่วง 3.46 ถึง 7.72 เปอร์เซ็นต์ แสดงให้เห็นว่าแบบจำลองมีความน่าเชื่อถือเมื่อเทียบกับผลการทดลอง สามารถนำไปใช้ในคราฟพารามิเตอร์อื่นๆ ที่สนใจต่อไปได้

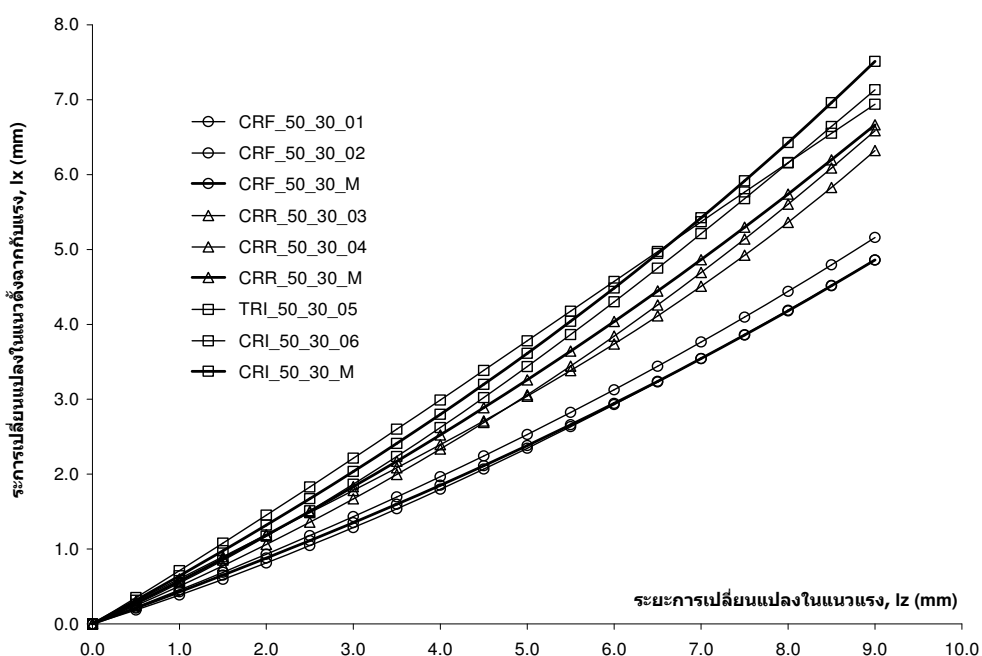


รูปที่ 4.28 การเปลี่ยนรูปของชิ้นงานในแนวแรงกดและในแนวตั้งจากกับแรงที่ได้จากแบบจำลองเปรียบเทียบกับผลการทดลองของชิ้นงานขนาดความกว้าง ยาว 30 mm หนา 10 mm



รูปที่ 4.29 การเปลี่ยนรูปของชิ้นงานในแนวแรงกดและในแนวตั้งจากกันแรงที่ได้จากแบบจำลอง

เปรียบเทียบกับผลการทดลองของชิ้นงานขนาดความกว้าง ยาว 40 mm หนา 18 mm



รูปที่ 4.30 การเปลี่ยนรูปของชิ้นงานในแนวแรงกดและในแนวตั้งจากกันแรงที่ได้จากแบบจำลอง

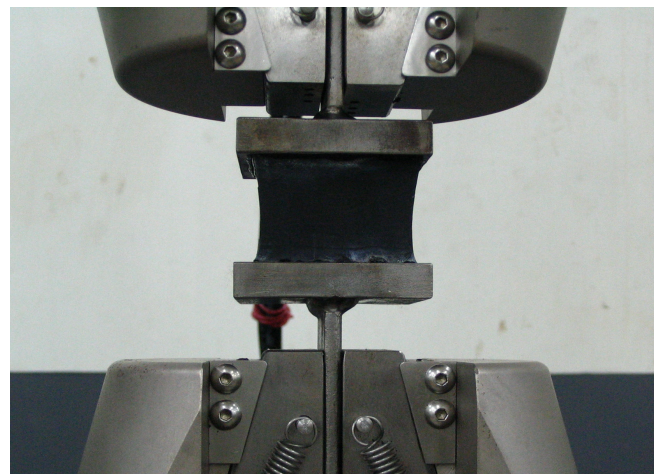
เปรียบเทียบกับผลการทดลองของชิ้นงานขนาดความกว้าง ยาว 50 mm หนา 30 mm

ตารางที่ 4.15 ค่าเฉลี่ยร้อยละความแตกต่างของการเปลี่ยนรูปในแนวตั้งจากกับแรง ที่ประมวลผลด้วยแบบจำลองไฟฟ้าในตัวอิเล็กทรอนิกส์เทียบกับผลการทดลอง ตลอดช่วงความเครียด 0-30%

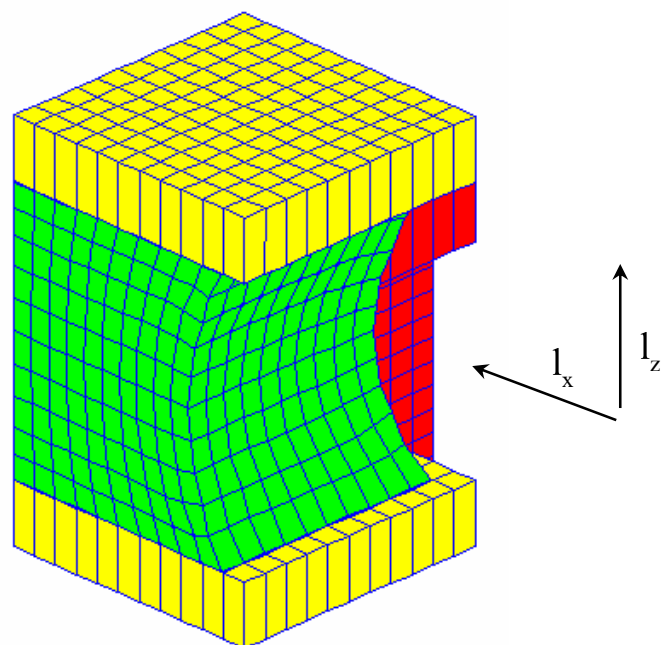
FEM Model	Experiment	ค่าเฉลี่ยความแตกต่าง(%)	ความเครียด(%)
ความกว้าง ยาว 30 mm หนา 10 mm			
CRF_30_10_M (free bond)	CCF_30_10_01 CCF_30_10_02	4.93 8.01	30 30
CRR_30_10_M (rubber glue)	CCR_30_10_03 CCR_30_10_04	6.33 6.48	30 30
CRI_30_10_M (instant glue)	CCI_30_10_05 CCI_30_10_06	9.23 5.42	30 30
ความกว้าง ยาว 40 mm หนา 18 mm			
CRF_40_18_M (free bond)	CCF_40_18_01 CCF_40_18_02	6.60 6.85	30 30
CRR_40_18_M (rubber glue)	CCR_40_18_03 CCR_40_18_04	8.95 6.69	30 30
CRI_40_18_M (instant glue)	CCI_40_18_05 CCI_40_18_06	4.37 5.30	30 30
ความกว้าง ยาว 50 mm หนา 30 mm			
CRF_50_30_M (free bond)	CCF_50_30_01 CCF_50_30_02	5.61 3.46	30 30
CRR_50_30_M (rubber glue)	CCR_50_30_03 CCR_50_30_04	6.88 5.35	30 30
CRI_50_30_M (instant glue)	CCI_50_30_05 CCI_50_30_06	5.61 7.72	30 30

4.4.3.4 ผลการยืนยันความถูกต้องของแบบจำลองไฟไนต์เอลิเม้นต์แบบแผ่นสี่เหลี่ยมรับแรงดึง

ผลการทดสอบของชิ้นงานแบบแผ่นสี่เหลี่ยมทั้งสามขนาดดังรูปที่ 4.31 โดยแต่ละขนาดทำการยืดติดชิ้นงานกับแผ่นโลหะด้วยการแห้งเร็ว (ชิ้นงานที่ติดยืดด้วยการยางรับแรงดึงได้น้อยมากทำให้ไม่สามารถวัดค่าการเปลี่ยนรูปของชิ้นงานได้) เมื่อรับแรงดึงแสดงผลการทดสอบในรูปของสมการโพลิโนเมียนกำลังสามแสดงดังตารางที่ 4.16 และผลการประมวลผลจากแบบจำลองไฟไนต์เอลิเม้นต์ดังรูปที่ 4.32 แสดงดังตารางที่ 4.17



รูปที่ 4.31 ชิ้นงานยางแผ่นสี่เหลี่ยมรับแรงดึง



รูปที่ 4.32 แบบจำลองชิ้นงานยางแผ่นสี่เหลี่ยมรับแรงดึง

ตารางที่ 4.16 แสดงผลการทดสอบของชิ้นงานแบบสี่เหลี่ยม เมื่อรับแรงดึง

แสดงผลในเทอมของค่าคงที่และค่าสหสัมพันธ์ของการเปลี่ยนรูปของชิ้นงานในแนวแรงและการเปลี่ยนรูปของชิ้นงานในแนวตั้งจากกับแรง ตามสมการที่ 4.7

ตัวอย่างทดสอบ	ลักษณะการ ยืดติด	a_2	a_1	a_0	r^2	ความเครียด (%)
ความกว้าง ยาว 30 mm หนา 10 mm						
TRI_30_10_01	instant glue	0.0005	-0.0804	1.0952	0.9988	30
TRI_30_10_02		-0.0367	-0.0019	1.0966	0.9969	30
ความกว้าง ยาว 40 mm หนา 18 mm						
TRI_40_18_01	instant glue	-0.0037	-0.0299	0.9341	0.9998	30
TRI_40_18_02		-0.0032	0.0067	0.7130	0.9980	30
ความกว้าง ยาว 50 mm หนา 30 mm						
TRI_50_30_01	instant glue	0.0000	-0.0156	0.6288	0.9987	30
TRI_50_30_02		0.0001	-0.0187	0.6793	0.9997	30

สัญลักษณ์ เช่น TRI_30_10_01 ชิ้นงานทดสอบชิ้นที่ 1 แบบแผ่นสี่เหลี่ยมรับแรงดึงเชื่อมต่อด้วยการแห้งเร็ว ขนาดความกว้าง ยาว 30 mm หนา 10 mm

TRI_40_18_01 ชิ้นงานทดสอบชิ้นที่ 1 แบบแผ่นสี่เหลี่ยมรับแรงดึงเชื่อมต่อด้วยการแห้งเร็ว ขนาดความกว้าง ยาว 40 mm หนา 18 mm

TRI_50_30_02 ชิ้นงานทดสอบชิ้นที่ 2 แบบแผ่นสี่เหลี่ยมรับแรงดึงเชื่อมต่อด้วยการแห้งเร็ว ขนาดความกว้าง ยาว 50 mm หนา 30 mm

ตารางที่ 4.17 แสดงผลการประมวลผลแบบจำลองชิ้นงานแบบแผ่นสีเหลี่ยม เมื่อรับแรงดึง
แสดงผลในเทอมของค่าคงที่และค่าสหสัมพันธ์ของการเปลี่ยนรูปของชิ้นงานใน
แนวแรงและการเปลี่ยนรูปของชิ้นงานในแนวตั้งจากกับแรง ตามสมการที่ 4.7

แบบจำลอง FEM	ลักษณะการ ยึดติด	a_2	a_1	a_0	r^2	ความเครียด (%)
ความกว้าง ยาว 30 mm หนา 10 mm						
TRI_30_10_M	instant glue	-0.0022	-0.0540	1.1596	1	30
ความกว้าง ยาว 40 mm หนา 18 mm						
TRI_40_18_M	instant glue	-0.0006	-0.0219	0.8389	1	30
ความกว้าง ยาว 50 mm หนา 30 mm						
TRI_50_30_M	instant glue	-0.0003	-0.0082	0.6024	1	30

สัญลักษณ์ เช่น TRI_30_10_M แบบจำลองชิ้นงานแบบกลมรับแรงดึงเชื่อมต่อ
ด้วยการแห้งเร็ว ขนาดความกว้าง ยาว 30 mm หนา 10 mm

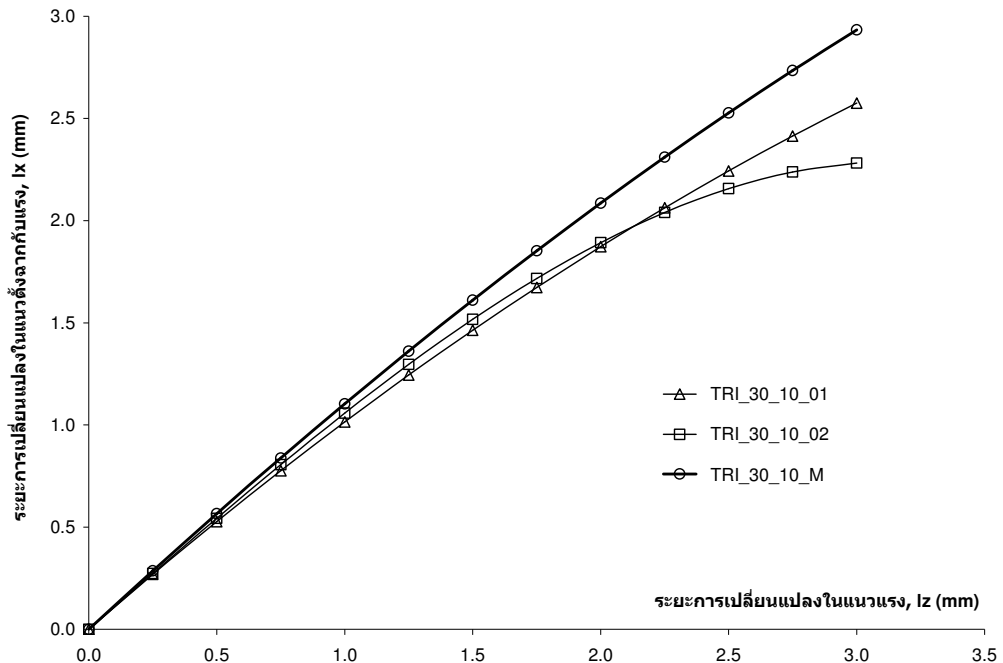
TRI_50_30_M แบบจำลองชิ้นงานแบบกลมรับแรงดึงเชื่อมต่อด้วยการแห้งเร็ว
ขนาดความกว้าง ยาว 50 mm หนา 30 mm

เมื่อนำเอาค่าระยะการเปลี่ยนแปลงในแนวตั้งจากกับแรง (l_x) ที่แต่ละค่าของการ
เปลี่ยนแปลงในแนวแรง (l_z) ที่วัดได้จากการทดสอบเบรย์เก็บกับผลที่ประมวลผลได้จาก
ต้นแบบไฟไนต์อเลิเมนต์ขนาดต่างๆ แสดงได้ดังรูปที่ 4.33, 4.34 และ 4.35 นอกจากนี้ยังแสดง
ร้อยละของความแตกต่างเฉลี่ยของผลที่ได้ทั้งสองวิธีตามสมการที่ 4.8 ดังตารางที่ 4.18 โดยพบว่า
ค่าความแตกต่างเฉลี่ยของชิ้นงานขนาดความกว้าง ยาว 30 mm มีค่า 9.53 และ 9.83 เปอร์เซ็นต์

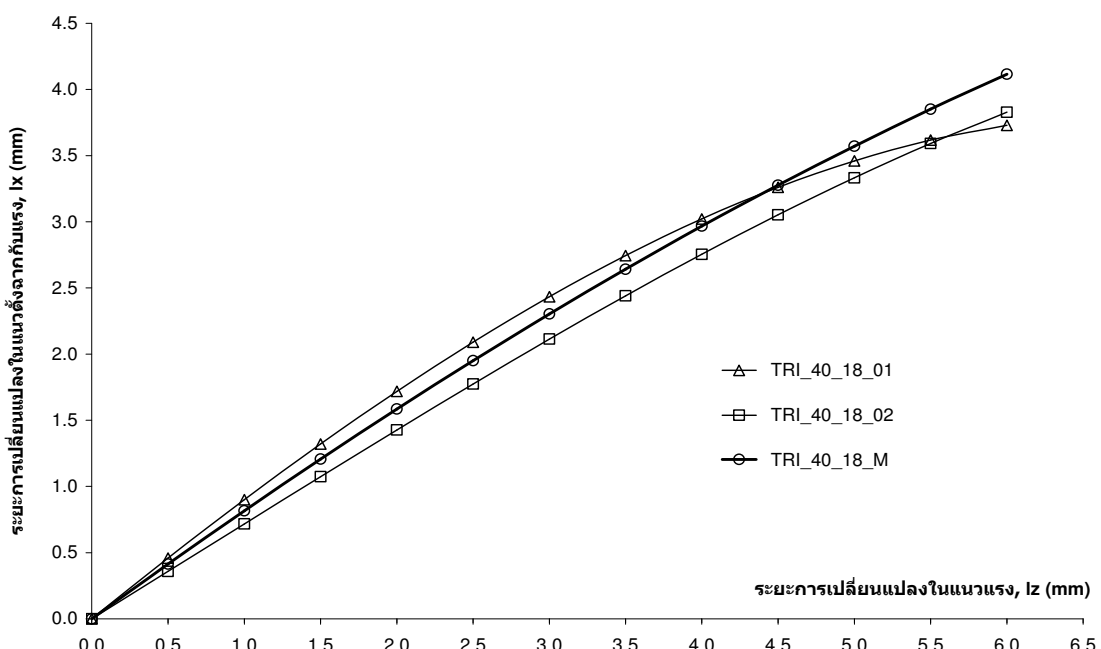
ขนาดความกว้าง ยาว 40 mm มีค่า 5.67 และ 9.03 เปอร์เซ็นต์ และขนาดความกว้าง ยาว 50 mm มีค่า 1.77 และ 6.01 เปอร์เซ็นต์ แสดงให้เห็นว่าแบบจำลองมีความน่าเชื่อถือเมื่อเทียบกับผลการทดลองสามารถนำไปใช้ในกระบวนการพารามิเตอร์อื่นๆ ที่สนใจได้

ตารางที่ 4.18 ค่าเฉลี่ยร้อยละความแตกต่างของการเปลี่ยนรูปในแนวตั้งจากกับแรง ที่ประมวลผลด้วยแบบจำลองไฟฟ้าในตัวอิเล็กทรอนิกส์เทียบกับผลการทดลอง ตลอดช่วงความเครียด 0-30%

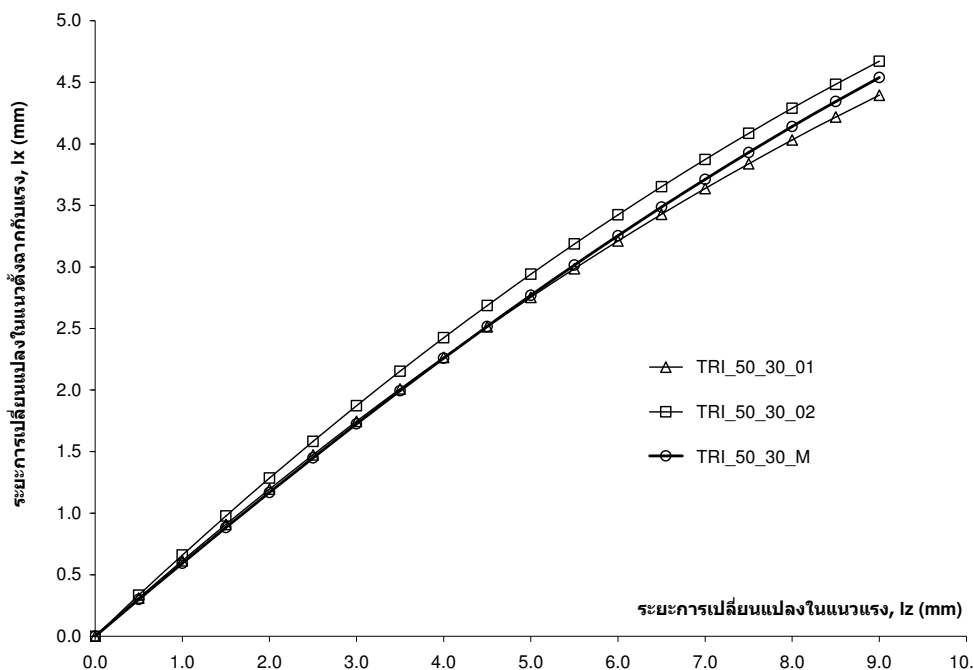
FEA Model	Experiment	ค่าเฉลี่ยความแตกต่าง(%)	ความเครียด(%)
ความกว้าง ยาว 30 mm หนา 10 mm			
TRI_30_10_M (instant glue)	TCI_30_10_01 TCI_30_10_02	9.53 9.83	30
ความกว้าง ยาว 40 mm หนา 18 mm			
TRI_40_18_M (instant glue)	TCI_40_18_01 TCI_40_18_02	5.67 9.03	30
ความกว้าง ยาว 50 mm หนา 30 mm			
TRI_50_30_M (instant glue)	TCI_50_30_01 TCI_50_30_02	1.77 6.01	30



รูปที่ 4.33 การเปลี่ยนรูปของชิ้นงานในแนวแรงดึงและในแนวตั้งจากกับแรงที่ได้จากแบบจำลอง
เปรียบเทียบกับผลการทดลอง ของชิ้นงานขนาดความกว้าง ยาว 30 mm หนา 10 mm



รูปที่ 4.34 การเปลี่ยนรูปของชิ้นงานในแนวแรงดึงและในแนวตั้งจากกับแรงที่ได้จากแบบจำลอง
เปรียบเทียบกับผลการทดลอง ของชิ้นงานขนาดความกว้าง ยาว 40 mm หนา 18 mm



รูปที่ 4.35 การเปลี่ยนรูปของชิ้นงานในแนวแรงดีงและในแนวตั้งจากกับแรงที่ได้จากแบบจำลอง
เปรียบเทียบกับผลการทดลอง ของชิ้นงานขนาดความกว้าง ยาว 50 mm หนา 30 mm